

## تعیین عرصه‌های مناسب برای تغذیه مصنوعی بر پایه‌ی تلفیق روش‌های ANP و مقایسه زوجی در محیط GIS، مطالعه موردنی دشت گربایگان فسا

حسنعلی فرجی سبکبار؛ دانشیار جغرافیا و برنامه‌ریزی محیطی، دانشگاه تهران، ایران  
حسین نصیری؛ دانشجوی دکتری جغرافیا و برنامه‌ریزی محیطی، دانشگاه تهران، ایران\*

محمد حمزه؛ کارشناس ارشد سنجش از دور، دانشگاه تهران، ایران، ایران  
سیده طالبی؛ کارشناس ارشد سنجش از دور، دانشگاه تهران، ایران، ایران  
یوسف رفیعی؛ دانشجوی دکتری برنامه‌ریزی محیط زیست، دانشگاه تهران، ایران، ایران

### چکیده

بخش عمده‌ای از کشور ایران جزء مناطق خشک و نیمه‌خشک محسوب می‌شود و آب به عنوان یک عامل محدود کننده فعالیت‌های بشر در این مناطق به شمار می‌آید. وجود سیالاب‌های مخرب و کمبود آب در این مناطق، لزوم مهار سیالاب‌ها را ایجاد می‌کند. پخش سیالاب یک استراتژی مناسب برای مهار سیالاب و بهره‌وری از آن است. تعیین عرصه‌های مناسب برای پخش سیالاب و وارد کردن آب به یک سازند نفوذپذیر، یکی از مهمترین عوامل تعیین کننده موفقیت طرح‌های پخش سیالاب است. از این رو، در این پژوهش سعی شده تا با تلفیق سیستم اطلاعات جغرافیایی و سیستم‌های تصمیم‌گیری چندمعیاره (MCDM)، مناسب‌ترین عرصه‌ها برای اجرای عملیات پخش سیالاب در دشت گربایگان فسا شناسایی شوند. بدین منظور، ابتدا داده‌های ۸ پارامتر تأثیرگذار‌شیب، کیفیت آب، زمین‌شناسی، خاکستر آبرفت، کاربری اراضی، قابلیت انتقال، ژئومورفولوژی و تراکم زهکشی- منطقه مورد مطالعه، در محیط GIS آماده‌سازی گردید و با استفاده از روش ANP و مقایسه زوجی به ترتیب وزن هر معیار و وزن کلاس‌های هر لایه در نرم‌افزار Super Decision محاسبه شد. در مرحله بعد، نواحی دارای محدودیت برای پخش سیالاب حذف گردید. سپس با استفاده از توابع تحلیلی GIS، کل محدوده برای هر یک از معیارهای تعیین شده پنهانی شد. در نهایت، با تلفیق نقشه‌های پنهانی شده براساس وزن اکتسابی از روش ANP، نقشه نهایی در پنج کلاس از کاملاً مناسب تا نامناسب تهیه شد. نتایج این پژوهش نشان داد که مناطق کاملاً مناسب برای تغذیه مصنوعی آبخوان‌ها، اغلب در نهشته‌های کواترنری،  $Q_b$  و  $Q_{bc}$  و واحدهای ژئومورفولوژیکی پدیمیتی و مخروط‌افکنهای با شیب کمتر از ۳ درصد واقع شده‌اند. همچنین نتایج حاصل از این روش با استفاده از کترل زمینی، مورد بررسی و تحلیل قرار گرفت که حاکی از برآورده شدن همه معیارهای انتخابی در نواحی کاملاً مناسب، و رضایت پخش بودن به کارگیری روش‌های MCDM در تلفیق با GIS در امر مکانیابی عرصه‌های مناسب برای تغذیه مصنوعی آبخوان‌ها است.

واژه‌های کلیدی: پخش سیالاب، مدیریت منابع آب، مقایسه زوجی، ANP، GIS، گربایگان.

### ۱- مقدمه

همین امر به عنوان یک محدودیت تاریخی عمدۀ در توسعه اقتصادی و اجتماعی این سرزمین به شمار رفته است. براساس مطالعات اخیر که بر

در بسیاری از مناطق ایران، آب‌های زیرزمینی تنها منبع آب مورد استفاده محسوب می‌شوند.

خاک‌هایی با نفوذپذیری بسیار بالا مفید است (O'Hare et al., 1986). از آنجا که انتخاب عرصه‌های مناسب برای پخش سیلاب مستلزم در نظر گرفتن عوامل متعددی است و با توجه به گستردگی و پیچیدگی پارامترهای موثر در مکانیابی، ضرورت استفاده از سیستم‌های اطلاعات جغرافیایی (GIS) و تلفیق آن با سایر امور مدیریتی و برنامه‌ریزی مطرح می‌گردد. سیستم پشتیانی تصمیم‌سازی مکانی (SDSS) که در این تحقیق از آن استفاده می‌شود تلفیقی از علوم کامپیوتری، سیستم‌های اطلاعات جغرافیایی، علوم مدیریتی و تحقیق در عملیات است تا بتواند به نتایج مناسبی منجر گردد (اصغریبور، ۱۳۸۷). همچنین با توجه به محدودیت‌های روش‌های سنتی، که بسیار وقت‌گیر و هزینه‌بر بوده و اغلب با خطا همراه هستند، استفاده از سنجش از دور، سیستم‌های اطلاعات جغرافیایی و سیستم‌های تصمیم‌گیری چند معیاره (MCDM) با یک رویکرد تلفیقی، می‌تواند نقش مهمی را در فرآیند مکانیابی عرصه‌های مناسب پخش سیلاب و مدیریت آب‌های زیرزمینی ایفا نمایند.

انجام فعالیت‌های کشاورزی متکی بر آب‌های زیرزمینی در منطقه گربایگان و قرارگیری این منطقه در یکی از نواحی خشک کشور، اهمیت آب را در این منطقه به وضوح آشکار می‌سازد. این پژوهش با در نظر گرفتن این شرایط، در صدد است تا با تعیین دقیق عرصه‌های مناسب

روی توسعه منابع آب در ایران صورت گرفته است از ۴۳۰ میلیارد متر مکعب کل بارندگی سالانه کشور حدود ۲۰ درصد آن به صورت سیلاب‌های ناگهانی با ورود به پلایاهای و دریاهای از دست رود (Foltz, 2002.., Mohammadnia and Kowsar, 2003 همچنین از نظر شرایط اقلیمی، بخش عمده‌ای از کشور جزء مناطق خشک و نیمه‌خشک به شمار می‌رود. از ویژگی‌های این مناطق علاوه بر ناچیز بودن مقدار بارندگی سالانه و توزیع نامناسب بارندگی (از نظر زمانی و مکانی)، نزول بارش‌هایی با شدت نسبتاً زیاد است که به وقوع سیلاب‌های حجمی و مخرب تؤام با خسارات جانی و مالی زیاد منجر می‌گردد (حیاتی و کریمی، ۲۰۰۵). پخش سیلاب بر روی آبخوان‌ها و همچنین تغذیه مصنوعی آبخوان‌ها به این شیوه، یک استراتژی مناسب برای مهار سیلاب‌ها، مقابله با کم‌آبی و همچنین یک شیوه مطلوب برای مدیریت منابع آب به شمار می‌رود (ASCE, 2001). روش‌های متعددی برای تغذیه آب‌های زیرزمینی توسعه یافته‌اند، از جمله این تکنیک‌ها می‌توان به روش تغذیه مستقیم سطحی، مستقیم زیرسطحی یا تکنیک تغذیه غیرمستقیم اشاره نمود (Oakford, 1985). به هر حال، روش تغذیه مستقیم سطحی، یکی از کم هزینه‌ترین، ساده‌ترین و گستردگیرین تکنیک‌هایی است که برای تغذیه مصنوعی آبخوان‌ها بکار گرفته می‌شود. تکنیک تغذیه مستقیم سطحی، که پخش سطحی سیلاب را شامل می‌شود برای مناطق با دسترسی به اراضی مسطح و وسیع و

<sup>۱</sup>- Multiple Criteria Decision Making

دارای شیب کمتر از ۵ درصد و اغلب در نهشته‌های کواترنری واقع شده‌اند.

سارف و چودری<sup>۳</sup> (۱۹۹۸) با استفاده از فناوری سنجش از دور در استخراج لایه‌های مختلفی نظیر کاربری اراضی، پوشش گیاهی، ژئومورفولوژی و زمین‌شناسی و تلفیق آنها با سایر لایه‌های اطلاعاتی مانند شیب، مناطق مناسب برای تغذیه مصنوعی آبهای زیرزمینی در ناحیه مادیا پرادش در نواحی مرکزی هند تعیین نمودند.

چودری و همکاران (۲۰۱۰) با استفاده از سنجش از دور، سیستم اطلاعات جغرافیایی و تکنیک‌های MCDM مناطق مناسب برای تغذیه مصنوعی آبهای زیرزمینی را در منطقه مدیناپور غربی<sup>۴</sup> تعیین نمودند. آنها از معیارهای شیب، قابلیت انتقال، ضریب زهکشی، ژئومورفولوژی و زمین‌شناسی استفاده نموده‌اند. نتایج حاکی از کارایی تکنیک‌های MCDM در تلفیق با GIS در تعیین مناطق مناسب برای تغذیه مصنوعی آبهای زیرزمینی است.

قویومیان و همکاران (۲۰۰۵) با استفاده از سامانه‌های اطلاعات جغرافیایی و سیستم پشتیبانی تصمیم (DSS) و با بکارگیری لایه‌های اطلاعاتی شیب، نفوذپذیری، ضخامت آبرفت، کیفیت آب و ضریب آبگذری آبخوان مناطق مناسب را برای تغذیه مصنوعی آبهای زیرزمینی در منطقه میمه اصفهان تعیین نمودند. نتایج این تحقیق نشان داد که حدود ۷۰ درصد نهشته‌های

برای عملیات پخش سیلاب و بهره‌برداری مطلوب از سیلاب‌ها، از هدر رفت آب در منطقه جلوگیری به عمل آورد. حال با توجه به مطالب بیان شده، پژوهش حاضر به الگوسازی مکان‌یابی عرصه‌های مناسب برای اجرای اجرای عملیات پخش سیلاب در دشت گربایگان فسا با بهره‌گیری از سیستم‌های اطلاعات جغرافیایی، فرایند تحلیل شبکه<sup>۱</sup> (ANP) و روش مقایسه زوجی پرداخته است.

## ۲- پیشینه تحقیق

در زمینه پنهان‌بندی مناطق مناسب برای تغذیه مصنوعی آبهای زیرزمینی در ایران و جهان با استفاده از سنجش از دور و سیستم‌های پشتیبانی تصمیم‌گیری در تلفیق با سیستم اطلاعات جغرافیایی تحقیقاتی انجام گرفته که برخی از آنها در زیر شرح داده شده است:

کریشنانامورتی<sup>۲</sup> و همکاران (۱۹۹۶)، از سنجش از دور و GIS برای پنهان‌بندی مناطق مناسب برای تغذیه مصنوعی آبهای زیرزمینی در نواحی جنوبی هند با توجه به عوامل زمین‌شناسی، توپوگرافی، گسل‌ها، آبهای سطحی، تراکم و شیب استفاده نموده و براساس اهمیت به هر یک از عوامل وزنی اختصاص داده شده و با تلفیق این لایه‌های اطلاعاتی، نقشه‌ی عرصه‌های مناسب حاصل گردیده است. نتایج این تحقیق نشان می‌دهد که عرصه‌های مناسب

<sup>3</sup> - Saraf & Choudhury

<sup>5</sup>- West Medinipur

<sup>1</sup>- Analytic Network processes

<sup>2</sup>- Krishnamurthy

برای هر مدل را به دست آوردن. سپس نتایج را با نقشه‌های کنترلی مقایسه نموده‌اند.

فرجی و همکاران (۱۳۸۷) با استفاده از فرایند تحلیل شبکه‌ای (ANP) بر پایه‌ی معیارهای محیطی، اجتماعی-اقتصادی، فنی عملیاتی و منابع آب زیرزمینی در تلفیق با GIS مکان‌های مناسب برای دفن بهداشتی پسماندهای شهری را مشخص نمودند. نتایج حاکی از کارایی قابل قبول این روش در تعیین مکان‌های مناسب دفن پسماند است.

فرجی و همکاران (۱۳۸۹) میزان پایداری نواحی روستایی را بر مبنای روش فرایند تحلیل شبکه، با استفاده از تکنیک بردا و با بکارگیری شاخص‌های اجتماعی، اقتصادی و محیطی مورد سنجش قرار دادند. نتایج تحقیق نشان می‌دهد که به دلیل برهمکنش میان شاخص‌ها و معیارها در ابعاد مختلف برای سنجش دقیق پایداری، توجه به گروه‌ها و ابعاد مختلف پایداری به صورت مستقل از هم و همچنین استفاده از نظرات کارشناسی الزامی است. همچنین روش ANP به خاطر توجه به ساختار شبکه‌ای و روابط متقابل معیارها قابلیت بالایی را در این مورد نشان می‌دهد.

### ۳- مواد و روش‌ها

در این مطالعه روش کلی بر این اساس استوار است که ابتدا مناطق نامناسب غربال شده، سپس عملیات تکمیلی بر روی مناطق باقیمانده اعمال می‌گردد و نتیجه نهایی یعنی محل‌های مناسب برای پخش سیلاپ مشخص می‌گردد. با توجه

کواترنری منطقه مورد مطالعه برای طرح‌های پخش سیلاپ مناسب هستند.

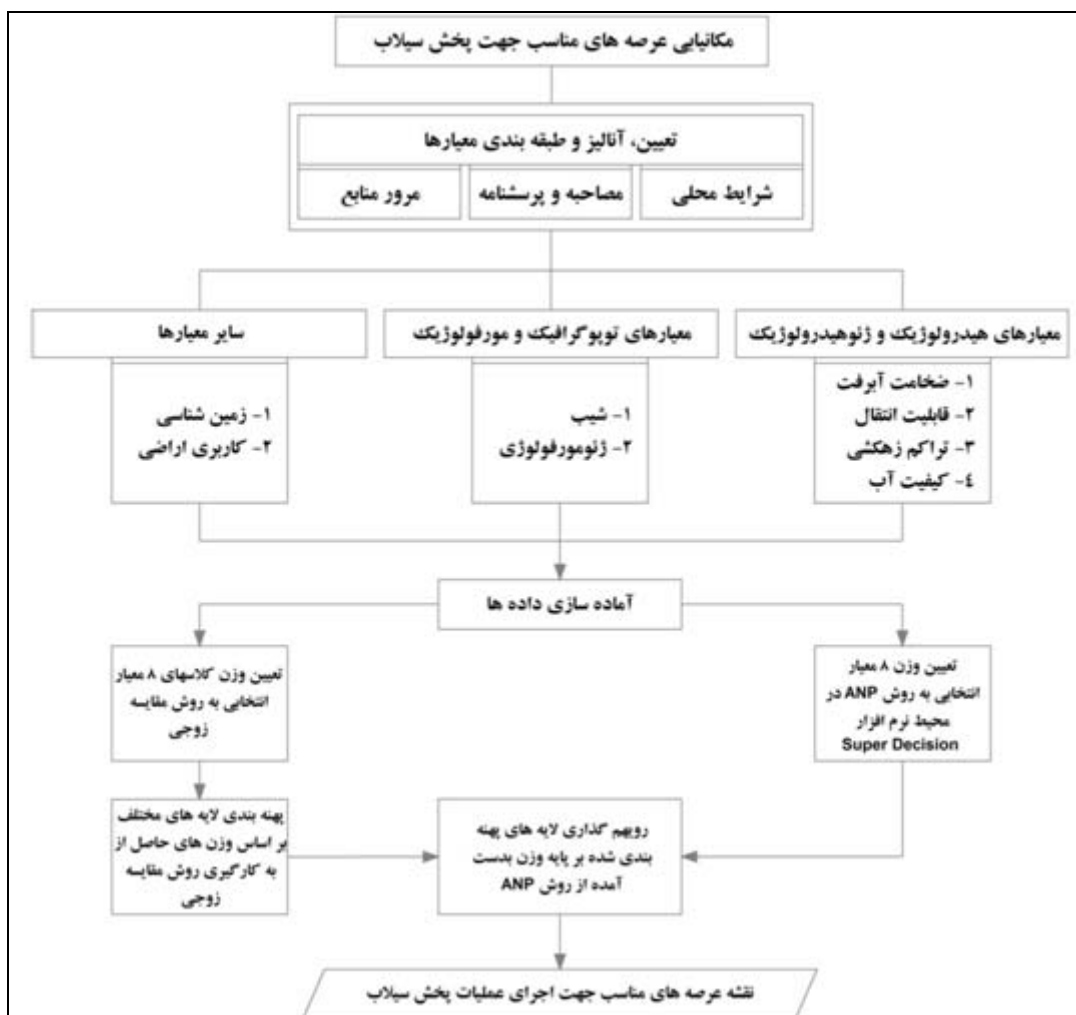
قیومیان و همکاران (۲۰۰۷) در تحقیقی دیگر با به کارگیری GIS و استفاده از معیارهای شیب، نفوذپذیری، ارتفاع سطح ایستابی، کیفیت رسوبات و کاربری اراضی در منطقه گاویندی بهترین مناطق را برای تغذیه مصنوعی آبخوان‌های ساحلی جنوب ایران شناسایی نمودند. لایه‌های استفاده شده برپایه منطق بولین و فازی با یکدیگر تلفیق شدند. نتایج حاصل از این مطالعه نشان داد که حدود ۱۲ درصد از ناحیه مورد مطالعه کاملاً مناسب و ۸ درصد نسبتاً مناسب برای عملیات پخش سیلاپ است.

زهتابیان و همکاران (۱۳۸۰) با بکارگیری پارامترهای شیب، زئومورفولوژی، گروه‌های هیدرولوژیکی خاک و کاربری اراضی کارایی مدل‌های مختلف (منطق بولین و شاخص همپوشانی، منطق فازی) در مکانیابی پخش سیلاپ در حوزه طغروم و قم را بررسی و استفاده از اپراتور فازی گاما را برای این منظور توصیه نموده‌اند.

آل‌شیخ و همکاران (۲۰۰۸) با استفاده از پارامترهای زمین‌شناسی، شیب، قابلیت اراضی، سرعت نفوذپذیری، واحدهای کواترنر و ضخامت آبرفت، عرصه‌های مناسب برای پخش سیلاپ را در حوضه‌ی آبخیز سمل بوشهر با بکارگیری GIS تعیین نمودند. آنها با تلفیق این لایه‌ها در قالب منطق بولین و شاخص همپوشانی، منطق فازی نقشه مکان‌های مناسب

شماتیک در شکل ۱ نشان داده شده است و در ادامه به تشریح آنها پرداخته می‌شود.

به بحث‌های نظری و روش‌های استفاده شده در این پژوهش، به طور کلی، فرایند انجام این تحقیق مبتنی بر مراحل زیر است که به صورت

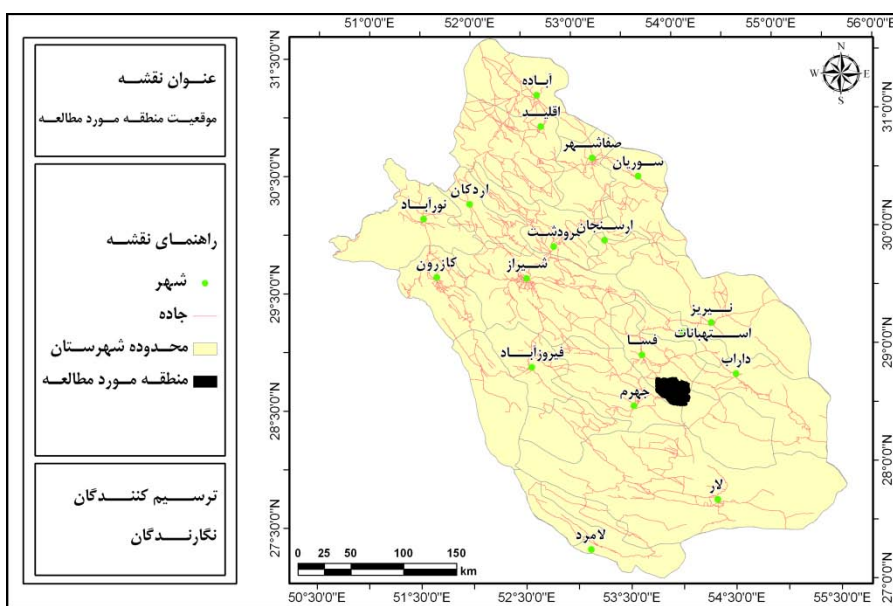


شکل ۱- فرایند مکانیابی عرصه‌های مناسب پخش سیلاپ با استفاده از تلفیق سیستم‌های تصمیم‌گیری چندمعیاره با GIS

براساس طبقه‌بندی اقلیمی دومارتن، اقلیم حوضه گربایگان از نوع خشک محسوب می‌شود. میانگین بارندگی و تبخیر بالقوه سالانه در این ناحیه به ترتیب  $259\text{ mm}$  و  $2934\text{ mm}$  میلیمتر و میانگین دمای سالانه آن  $20/6^{\circ}\text{C}$  درجه سانتیگراد است.

### ۱-۳- معرفی محدوده مورد مطالعه

منطقه گربایگان فسا بین طولهای شرقی  $۵۰^{\circ}$  تا  $۵۴^{\circ}$  و عرضهای شمالی  $۴۵^{\circ}$  تا  $۴۵^{\circ}$  و در  $۱۹۰$  کیلومتری جنوب شرقی شهر شیراز واقع شده است. ارتفاع متوسط منطقه مورد مطالعه  $1476$  متر از سطح دریا است.



شکل ۲- نقشه موقعیت جغرافیایی منطقه مورد مطالعه

تغذیه‌ی آبخوان‌های منطقه است. یکی دیگر از منابع تغذیه‌ی آبخوان‌ها، خشکه‌رود چاه‌قوج است که سهم کمتری را در تغذیه‌ی آبخوان‌های دشت نسبت به خشکه‌رود بیشه زرد ایفامی کند. شکل ۲ موقعیت جغرافیایی منطقه گربایگان را نشان می‌دهد.

### ۲-۳- معیارهای پخش سیلاب

مناطق مستعد برای پخش سیلاب و بهره‌برداری از آن دارای خصوصیات ویژه و خاص خود هستند که شناسایی و تفکیک آنها به عوامل متعددی بستگی دارد. انتخاب تمام این عوامل برای انجام یک تحقیق بسیار مشکل است لذا در پژوهش حاضر، با توجه به کارهای انجام گرفته در زمینه‌ی تغذیه مصنوعی آبخوان‌ها، استفاده از نظرات چهار گروه کارشناسان خبره از جمله کارشناسان محیط زیست، هیدرولوژیست‌ها، زمین‌شناسان و متخصصان GIS و با توجه به

منطقه گربایگان بخشی از ناحیه‌ی زاگرس چین خورده در جنوب غربی ایران است که با روند شمال غرب-جنوب شرق به صورت یک کمربند چین خورده کشیده شده است. در این منطقه آثاری از سازندهای زمین شناسی دوران اول و دوم دیده نمی‌شود و تنها سازندهای دوران سوم و چهارم زمین شناسی در منطقه گسترش دارند. سازندهای دوران سوم، واحد کوهستان و تپه‌ماهور را تشکیل می‌دهند. سازندهای دوران چهارم، رسوبات آبرفتی با ژرفای متوسط ۳۰ متر هستند که به صورت مخروط افکنه و پدیمنت، بیشترین نقش را در تشکیل آبخوان‌های دشت به عهده دارند. منابع آب دشت گربایگان شامل منابع سطحی و زیرزمینی است. دو خشکه‌رود بیشه زرد و چاه قوج منابع آب سطحی را تشکیل می‌دهند. خشکه‌رود بیشه‌زرد طولی حدود ۲۸ کیلومتر داشته و سیلابهای این خشکه‌رود منبع عمده

سیلاب است. آبرفت‌های درشت دانه و آهکی به دلیل دارا بودن ضریب تراوایی خوب، آبگذری و ذخیره زیاد و صعیت مناسبی برای تشکیل آبخوان‌ها عرضه می‌نماید. عموماً سازندهای دانه‌ای (شن و ریگ) و سازندهای شکافدار یا کارستی هدایت هیدرولیکی و قابلیت انتقال بیشتری دارند و همچنین مناطق با آبرفت‌های جوان به عنوان مناطق مناسب برای پخش سیلاب محسوب می‌شوند (Chowdhury et al., 2010).

**ضخامت آبرفت:** یکی دیگر از عوامل مهم در پخش سیلاب و تغذیه آبهای زیرزمینی ضخامت آبرفت است. از نظر تئوری هر چه ضخامت آبرفت بیشتر باشد، میزان ذخیره آب زیرزمینی در آن نیز زیادتر می‌شود. سوابق مطالعاتی در دسترس نشان می‌دهد که تا کنون در مورد نقشه ضخامت آبرفت در تغذیه آبهای زیرزمینی به صورت کمی، مطالعه چندانی صورت نگرفته است، ولی مانداب‌های ایجاد شده در مناطق آبرفتی که عمق سنگ کف در آنها زیاد نبوده و مشکلات زیست محیطی حاصل از آنها، اهمیت این عامل را آشکار می‌سازد.

**کاربری اراضی:** از منظر کاربری اراضی منطقه مورد مطالعه شامل بستر رودخانه، اراضی شهری، کشاورزی آبی، کشاورزی دیم و مرتع می‌باشد. اجرای پروژه‌های آبخوانداری در زمینهای امکان‌پذیر است که دارای پوشش گیاهی مناسب باشند. به عبارت دیگر، مراتعی که دارای پوشش مناسب می‌باشد علاوه بر نفوذ آب به داخل آبخوان و تغذیه سفره‌های آب زیرزمینی،

شرایط محلی منطقه مورد مطالعه پارامترهای تأثیرگذاری چون شبی، کیفیت آب، زمین‌شناسی، ضخامت آبرفت، کاربری اراضی، قابلیت انتقال، ژئومورفولوژی و تراکم زهکشی انتخاب و مورد تجزیه و تحلیل قرار گرفتند.

**شبی:** یکی از عوامل مؤثر در مکان‌یابی عرصه‌های مستعد پخش سیلاب و تغذیه آبهای زیرزمینی شبی است که نقش بسیار مهمی در کنترل عواملی مانند سیل و نفوذپذیری دارد. براساس تجربیات محققان داخلی و خارجی مکانهای مناسب برای پخش سیلاب، شبی کمتر از ۵ درصد دارند (Krishnamurthy et al., 1995).

**کیفیت آب:** کیفیت آب زیرزمینی مشخص کننده میزان مواد شیمیایی و بیولوژیکی رسوبات بوده و در تشخیص آب مناسب برای مصارف معین اهمیت بسزایی دارد. در این پژوهش از EC به عنوان مبنای برای بررسی شاخص کیفیت آب استفاده شد. مؤلفه‌های هدایت الکتریکی (EC) و باقیمانده خشک (TDS) اندازه‌گیری و نقشه‌های آنها آماده گردید. از آنجا که نقشه‌های TDS و EC روند تغییرات یکسانی داشته و با هم‌دیگر تطابق دارند از نقشه EC به عنوان معیار کیفیت آب استفاده شد.

**زمین‌شناسی:** زمین‌شناسی (نوع سازند و لیتوژئی سازند مورد نظر) بر بسیاری از خصوصیات هیدرولوژیکی چون نفوذپذیری، هدایت هیدرولیکی و قابلیت انتقال و ... تأثیرگذار است و این حاکی از اهمیت لایه زمین شناسی در امر تعیین عرصه‌های مناسب پخش

نامیده می شود و رابطه مستقیمی با دبی حداکثر در حوضه دارد و برابر است با:

$$\mu = \frac{\sum L_i}{A} \quad \text{رابطه (۱)}$$

که در آن L طول هر یک از آبراهه‌های حوضه و A برابر با مساحت حوضه آبریز است (Chowdhury et al, 2010). تراکم زهکشی با نفوذپذیری رابطه معکوس دارد. یک سنگ با نفوذپذیری کمتر، رواناب کمتری را می‌تواند نفوذ دهد، که به تمرکز بیشتر رواناب سطحی منجر می‌شود. این امر امکان ایجاد یک سیستم زهکشی تکامل‌یافته و مناسب را افزایش می‌دهد. عبارتی سیستم زهکشی تکامل‌یافته و متراکم نشان دهنده نفوذپذیری کم و سیستم زهکشی نامتراکم نشان دهنده نفوذپذیری بالا است. از این‌رو تراکم زهکشی می‌تواند به صورت غیرمستقیم نشانگر شایستگی یک منطقه برای تغذیه مصنوعی باشد. چنانکه چودری (۲۰۱۰) در مقاله‌ی خود با عنوان تعیین مناطق مناسب برای تغذیه مصنوعی آب‌های زیرزمینی با استفاده از سنجش از دور، GIS و تکنیک‌های MCDM در منطقه مدیناپور غربی از تراکم زهکشی بعنوان نمایه‌ای از نفوذپذیری یاد نموده و تراکم زهکشی را به جای نفوذپذیری بکار گرفت.

### ۳-۳- جمع‌آوری و آنالیز داده‌ها

در این پژوهش، مجموعه داده‌های ۸ معیار انتخابی برای حوضه گربایگان، از منابع مختلف گردآوری شد. نقشه کاربری اراضی و رئومورفولوژی منطقه مورد مطالعه از طریق

از فرسایش سطحی هم جلوگیری می‌نماید.  
در صورتی که مراتع فقیر به دلیل کمبود پوشش  
نسبت به مراتع متوسط و خوب مکان مناسبی  
برای انجام پروژه‌های آبخوانداری نیستند.

قابلیت انتقال: قابلیت انتقال یا ضریب آبگذری، یکی از ضرایب هیدرودینامیکی است که قابلیت عبور آب را در تمام ضخامت لایه آبدار نشان می‌دهد توانایی انتقال در لایه‌های آبدار دارای مقادیر بسیار متفاوتی است، ولی به طور معمول مقدار آن بین ۱۰ تا ۱۰۰۰۰ مترمربع در روز تغییر می‌کند (قرمزچشم، ۱۳۷۹). فرمول محاسبه قابلیت انتقال  $K = D \times T$  است که در آن  $K$  هدایت هیدرولیکی آبخوان و  $D$  ضخامت لایه آبدار است. بهترین و دقیق‌ترین روش تعیین هدایت هیدرولیکی آبخوان روش آزمون پمپاژ است (نخعی، ۱۳۸۸). در پژوهش حاضر، هدایت هیدرولیکی آبخوان در منطقه مورد مطالعه از طریق آزمایش پمپاژ به دست آمده است.

رئومورفولوژی: نقشه‌های رئومورفولوژی در مناطقی که فاقد اطلاعات زیرسطحی است، می‌توانند به عنوان معیاری مناسب برای تعیین مناطق مناسب پخش سیلاب مورد استفاده قرار گیرند (فرمزچشم، ۱۳۷۹). دشتهای پهناور با شیب ملایم، پدیمنت‌ها و مخروط افکنه‌ها (بسطه به وسعت و موقعیت آنها)، به عنوان محل‌های بهینه برای اجرای طرح‌های آبخوان-داری در نظر گرفته می‌شوند (احمدی، ۱۳۸۴).

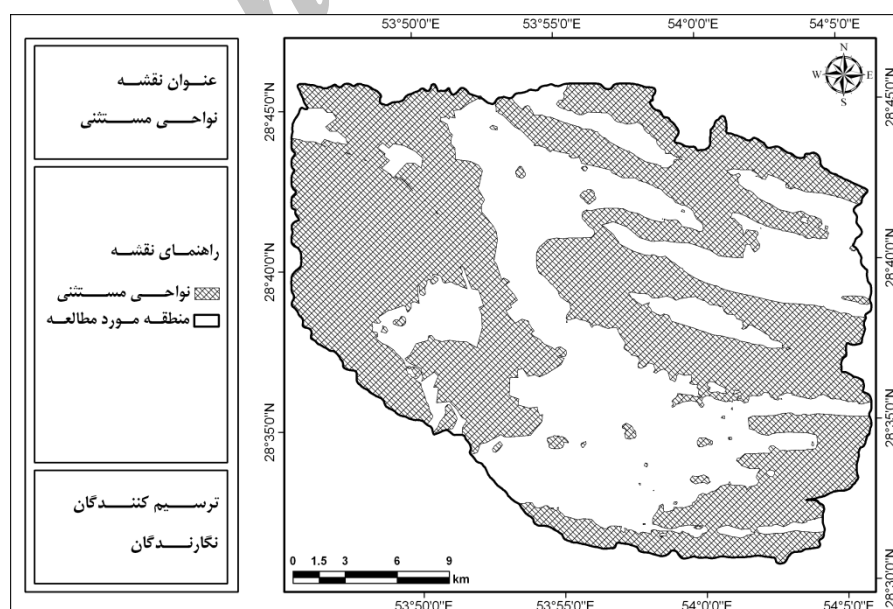
تراکم زهکشی: نسبت طول کلیه آبراهه‌ها در یک حوضه آبخیز به مساحت آن، تراکم آبراهه

از طریق درون‌یابی اطلاعات موجود، در محیط GIS به دست آمد.

#### ۴-۳- شناسایی نواحی دارای محدودیت

لایه محدودیت پخش سیلاب بیانگر مناطقی است که برای پخش سیلاب، نامناسب هستند. در مطالعه حاضر، براساس تحقیقات انجام گرفته در این زمینه و شرایط محلی منطقه<sup>۳</sup> لایه شیب، ژئومورفولوژی و کاربری اراضی به عنوان لایه‌های دارای محدودیت شناسایی گردیدند. در لایه شیب، شیب بیشتر از ۸ درصد، در لایه ژئومورفولوژی کوهستان‌ها و در لایه کاربری اراضی نواحی شهری، بستر رودخانه و اراضی کشاورزی به عنوان محدودیت در نظر گرفته شدند و به این شیوه، اراضی نامناسب برای پخش سیلاب حذف گردید. شکل ۳ نواحی دارای محدودیت را در حوضه گربایگان فسا نشان می‌دهد.

طبقه‌بندی و تفسیر تصاویر چندطیفی سال ۲۰۱۰ سنجنده TM ماهواره لندست با قدرت تفکیک مکانی ۳۰ متر استخراج گردید. برای تهیه نقشه شیب و لایه اطلاعاتی زمین‌شناسی، به ترتیب از مدل رقومی ارتفاع مستخرج از نقشه توپوگرافی ۱:۲۵۰۰۰ سازمان نقشه‌برداری و نقشه ۱:۱۰۰۰۰ سازمان زمین‌شناسی استفاده گردید. برای تهیه نقشه ضخامت آبرفت از نقشه هم‌عمق آب زیرزمینی که با استفاده از عمق آب زیرزمینی در چاههای پیزومتری و انطباق نقشه‌های تراز و توپوگرافی تهیه شده بود، استفاده شد. برای این منظور نقشه هم‌عمق آب زیرزمینی رقومی و سپس درون‌یابی گردید و نقشه ضخامت آبرفت بدست آمد. برای تهیه نقشه کیفیت آب، اطلاعات EC بیست چاه مشاهده‌ای که در طول یک دوره آماری ۱۰ ساله برداشت شده بودند، به کار گرفته شد. نقشه هدایت الکتریکی (EC) (EC)



شکل ۳- نقشه نواحی محدودیت برای پخش سیلاب در منطقه مورد مطالعه

همان طور که AHP بستری را برای ساختارهای سلسله مراتبی با روابط یک سویه فراهم می‌کند، ANP نیز امکان روابط پیچیده داخلی بین سطوح مختلف تصمیم و معیارها را مهیا می‌سازد. رویکرد بازخورده<sup>۱</sup> ANP ساختار شبکه‌ای را با ساختار سلسله مراتبی جایگزین کرده است و این حاکی از آن است که روابط بین سطوح مختلف تصمیم‌گیری را نمی‌توان به سادگی بالا-پایین، غالب-مغلوب یا مستقیم-غیرمستقیم تصور کرد. برای نمونه می‌توان گفت نه تنها اهمیت بین معیارها مشخص کننده اهمیت بین گزینه‌ها در سلسله مراتب است بلکه اهمیت گزینه‌ها نیز ممکن است در اهمیت بین معیارها تاثیرگذار باشد. بنابراین، ارائه ساختار سلسله مراتبی با روابط خطی بالا به پایین نمی‌تواند در مورد سیستم‌های پیچیده مناسب باشد (Lee & Kim, 2000., Momoh, 1998., Saaty, 1980).

سیستم‌های بازخورده را می‌توان به وسیله یک شبکه نشان داد. شکل ۴-الف و ۴-ب تفاوت ساختاری بین سلسله مراتب و شبکه را نشان می‌دهند. ارتباطات در یک شبکه بوسیله کمان نشان داده می‌شود. جهت کمان‌ها دلالت بر جهت وابستگی دارد. وابستگی متقابل میان دو خوشکه که اصطلاحاً وابستگی بیرونی نامیده می‌شود بوسیله پیکان‌های دوطرفه نشان داده می‌شود. وابستگی داخلی میان عناصر گروه به وسیله کمان‌های حلقه‌ای نشان داده می‌شوند. در

### ۳-۵- مروری بر روش فرایند تحلیل شبکه‌ای (ANP)

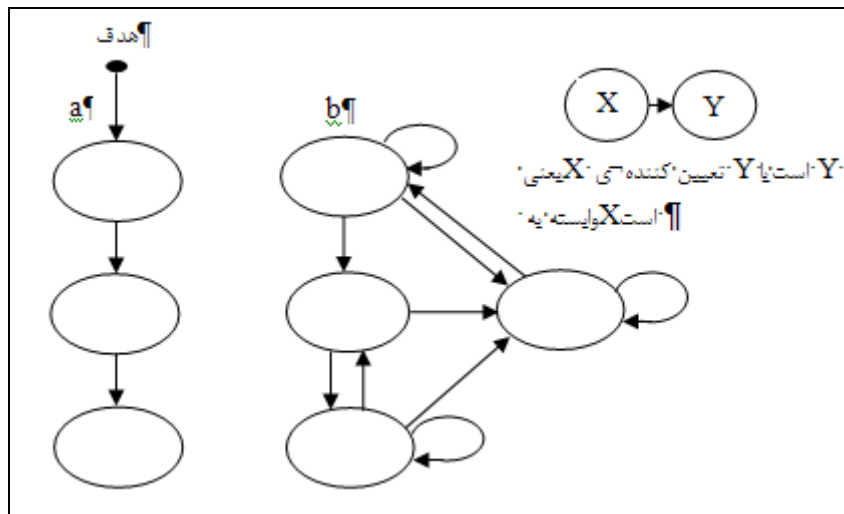
فرایند تحلیل شبکه‌ای یکی از جدیدترین تکنیک‌های تصمیم‌گیری چندمعیاره است که بوسیله پرسور ساعتی (۲۰۰۱) ارائه شده است. این مدل بر مبنای فرایند تحلیل سلسله مراتبی طراحی شده است و "شبکه" را جایگزین "سلسله مراتب" کرده است (قدسی پور، ۱۳۸۴). فرض اصلی در AHP بر روی عملکرد مستقل گروههای بالایی سلسله مراتبی از همه قسمت‌های پایینی آن و از معیارهای هر سطح و طبقه بنا نهاده شده است (Chung et al, 2005., Dyson, 2004). بسیاری از مسائل تصمیم‌گیری را نمی‌توان در یک ساختار سلسله مراتبی جای داد و این به دلیل تعاملات بین فاکتورهای مختلف است که بعضًا فاکتورهای سطح بالا وابستگی خاصی به فاکتورهای سطح پایین دارند. ساختاربندی یک مسئله با وابستگی‌های عملیاتی اجازه می‌دهد بازخورده بین خوشکه‌های شناسایی شده در سیستم شبکه دریافت گردد. ساعتی<sup>۲</sup> استفاده از مدل تحلیل سلسله مراتبی (AHP) را برای حل مسائل با معیارها و آلتراکتیووهای مستقل پیشنهاد کرده و برای حل مسائل با معیارها و آلتراکتیووهای وابسته به هم مدل تحلیل شبکه‌ای را پایه‌ریزی نموده است (Lee & Kim, 2001). بدین ترتیب روش ANP به عنوان تعمیمی از AHP ارائه گردید.

<sup>5</sup>- Feedback

<sup>4</sup>- Saaty

زوجی از پرسشنامه و نظرات کارشناسان خبره استفاده گردید

این مطالعه برای تعیین وابستگی میان خوشه‌ها و عناصر و همچنین وزن‌دهی در مرحله مقایسه



شکل ۴- مقایسه ساختار سلسله مراتبی با ساختار شبکه‌ای را نشان می‌دهد.(a)

فرایند تحلیل سلسله مراتبی ، (b) ساختار شبکه‌ای

می‌گیرند، بنابراین، بکارگیری رویکردهای وابستگی‌های احتمالی میان عوامل را در نظر گیرد و آنها را در اندازه‌گیری دخالت دهد، ضرورت می‌یابد. از این‌رو در این مطالعه برای محاسبه وزن عناصر از تئوری شبکه‌ها (ANP) استفاده گردید.

اما فرایند مدل‌سازی شامل مراحل زیر است  
که به اجمالی به آن اشاره می‌شود (Ertay et al, 2006., Sarkis, 2002):

گام اول، پایه‌ریزی مدل و ساختار مسئله: مسئله باید به شکل روشنی تبیین شده و به صورت یک سیستم منطقی و عقلانی، مانند شبکه تجزیه شود.

گام دوم، ماتریس مقایسات زوجی و برآورد وزن نسبی: تعیین وزن نسبی در ANP شبیه به

به طور کلی، روش ANP شامل سه قسمت است: بخش اول، سلسله مراتب کنترل برای شبکه معیارها و زیرمعیارها، بخش دوم شبکه‌ای از روابط میان عناصر و خوشه‌ها و بخش سوم بازخورد بین خوشه‌های مختلف و عناصر داخل یک خوشه است (khan and Faisal, 2008).

روش ANP در طی این چند سال اخیر به شدت مورد توجه محافل علمی قرار گرفته است. به روز بودن مدل، وابستگی‌ها و پیچیده بودن مسائل مختلف محیطی باعث گردیده تا روش ANP در اکثر کارهای محیطی کارایی بهتری نسبت به سایر روش‌ها داشته باشد. از آنجا که معیارها و شاخص‌های بکار گرفته شده در این پژوهش دارای روابط دوسویه و بازخوردی هستند و سایر مدل‌ها این وابستگی‌ها را کمتر در

$a_{ij} = \frac{w_i}{w_j}$  را مشخص می‌کند. به طوری که عدد ۱ مشخص کننده اهمیت مساوی بین دو عنصر و عدد ۹ مشخص کننده بیشترین اهمیت ممکن یک عنصر نسبت به عنصر دیگر است.

از ارزش معکوس  $(\frac{1}{a_{ij}})$  زمانی استفاده می‌شود که زمهمتر از مؤلفه ۱ باشد. اگر  $n$  مؤلفه وجود داشته باشد، در این صورت  $n$  مؤلفه با هم مقایسه خواهند شد، سوپرماتریس  $A$  در شکل ۵ نشان داده شده است.

AHP است به عبارتی از طریق مقایسه زوجی توان وزن نسبی معیارها و زیرمعیارها را مشخص کرد. مقایسه‌های زوجی عناصر در هر سطح با توجه به اهمیت نسبی آن نسبت به معیار کنترل، شبیه روش AHP انجام می‌شود. ساعتی برای مقایسه زوجی دو مؤلفه یک مقیاس نه تایی را معرفی نموده است. مقدار  $a_{ij}$  در ماتریس مقایسه زوجی اهمیت نسبی مؤلفه در سطر  $i$  با توجه به ستون  $j$  را نشان می‌دهد؛ به عبارتی

$$W = \begin{bmatrix} c_1 & & c_k & & c_n \\ e_{11} & e_{12} & \dots & e_{1m_1} & \dots & e_{k1} & e_{k2} & \dots & e_{km_k} & \dots & e_{n1} & e_{n2} & \dots & e_{nm_n} \\ e_{11} & & & & & e_{k1} & & & & & e_{n1} & & & \\ e_{12} & & & & & e_{k2} & & & & & e_{n2} & & & \\ \vdots & & & & & \vdots & & & & & \vdots & & & \\ e_{1m_1} & & & & & e_{km_k} & & & & & e_{nm_n} & & & \\ \vdots & & & & & \vdots & & & & & \vdots & & & \\ e_{k1} & & & & & e_{kk} & & & & & e_{nn} & & & \\ \vdots & & & & & \vdots & & & & & \vdots & & & \\ e_{k2} & & & & & e_{kk} & & & & & e_{nn} & & & \\ \vdots & & & & & \vdots & & & & & \vdots & & & \\ e_{km_k} & & & & & \vdots & & & & & \vdots & & & \\ \vdots & & & & & \vdots & & & & & \vdots & & & \\ e_{n1} & & & & & e_{nk} & & & & & e_{nn} & & & \\ e_{n2} & & & & & \vdots & & & & & \vdots & & & \\ \vdots & & & & & \vdots & & & & & \vdots & & & \\ e_{nm_n} & & & & & & & & & & & & & & \end{bmatrix}$$

شکل ۵- فرم استاندارد یک سوپرماتریس  $A$

که در آن  $\lambda_{max}$  بزرگترین مقدار ویژه ماتریس  $A$  است. بردار  $w$  با استفاده از  $w = \sum_{i=1}^n w_i$  نرمال می‌شود. نتیجه آن  $w$  واحد است، به عبارتی جمع هر ستون در ماتریس برابر یک می‌شود. برای تعیین میزان سازگاری مقایسه‌ها از شاخص سازگاری وزن معیارها استفاده می‌شود که این شاخص با استفاده از رابطه زیر محاسبه می‌شود:

$$CI = \frac{\lambda_{max} - n}{n-1} \quad \text{رابطه (۳)}$$

در روش AHP مقایسه‌های وزنی برای مؤلفه‌های زو نه به جای اختصاص وزن  $w_i$  و  $w_j$  استفاده می‌شود. بعد از آن که از وزن نسبی،  $w_i/w_j$  استفاده می‌شود. مقایسه زوجی به صورت کامل انجام شد، بردار وزن ( $w$ ) محاسبه می‌شود که ساعتی روش زیر را پیشنهاد نموده است:

$$A \times W = \lambda_{max} \times W \quad \text{رابطه (۲)}$$

دارند). برای آنکه از عناصر ستون متناسب با وزن نسبی شان فاکتور گرفته شود و جمع ستون برابر یک شود، هر ستون ماتریس، استانداردمی شود. در نتیجه ماتریس جدیدی به دست می‌آید که جمع هریک از ستونهای آن برابر یک خواهد بود. این موضوع شبیه به زنجیره مارکوف است که جمع احتمالی همه وضعیتها معادل یک است. به ماتریس جدید، ماتریس وزنی گفته می‌شود. گام پنجم، محاسبه بردار وزنی عمومی: در مرحله بعد، سوپرماتریس وزنی، به توان حدی میرسد تا عناصر ماتریس همگرا شده و مقادیر سطری آن باهم برابر شوند. براساس ماتریس بدست آمده، بردار وزن عمومی مشخص می‌شود.

$$\lim_{k \rightarrow \infty} w^k \quad (4)$$

ماتریسی که در نتیجه به توان رسیدن ماتریس وزنی به دست می‌آید، ماتریسی حدی است که مقادیر هر سطر آن با هم برابر است. اگر سوپرماتریس اشر زنجیره‌واری داشته باشد، ممکن است دو یا چند سوپرماتریس داشته باشیم و به صورت زیر سوپرماتریس وزنی همگرا می‌شود:

$$\lim_{k \rightarrow \infty} \left( \frac{1}{N} \sum_i w_i^k \right) \quad (5)$$

گام ششم، محاسبه وزن نهایی معیارها: در آخرین مرحله با توجه به جدول وزن خوش‌های سوپرماتریس حد، وزن نهایی معیارها محاسبه می‌شود.

### ۶-۳- روش مقایسه زوجی

در پژوهش حاضر برای تعیین وزن کلاس‌های هر یک از عوامل تاثیرگذار در امر

در کل اگر  $CN$  کمتر از  $1/0$  باشد مقایسه تأیید می‌شود. با توجه به هر معیار، مقایسه زوجی در دو مرحله (در سطح عناصر و مقایسه بین خوش‌های) انجام می‌شود که نتایج حاصل از مقایسه‌ها در سوپر ماتریس وارد خواهد شد.

گام سوم، تشکیل سوپرماتریس اولیه: عناصر ANP با یکدیگر در تعامل قرار دارند. این عناصر می‌توانند واحد تصمیم گیرنده، معیارها، زیر معیارها، نتایج حاصل، گزینه‌ها و هر چیز دیگری باشند. وزن نسبی هر ماتریس براساس مقایسه زوجی شبیه روش AHP محاسبه می‌شود، وزنهای حاصل در سوپرماتریس وارد می‌شوند که رابطه متقابل بین عناصر سیستم را نشانمی‌دهند. قالب عمومی سوپرماتریس در شکل ۵ نشان داده شده است. در این تصویر  $CN$  نشاندهنده خوش‌های  $e_{Nn}$ ، عنصر  $A^m$  در خوش‌های  $N^m$ ،  $w_{ij}$  ماتریس بلوک شامل وزنهای نسبی بردارهای  $w$  تأثیر عناصر در خوش‌های  $A^m$  نسبت به خوش‌های  $Z^m$  است. اگر خوش‌های  $A^m$  هیچ تأثیری بر خوش‌های  $Z^m$  خودش نداشته باشد (حالت وابستگی داخلی)،  $w_{ij}$  صفر می‌شود. سوپر ماتریس به دست آمده در این مرحله سوپرماتریس اولیه معرفی می‌شود.

گام چهارم، تشکیل سوپرماتریس وزنی: در واقع ستون‌های سوپرماتریس از چند بردار ویژه تشکیل می‌شود که جمع هر کدام از بردارها برابر یک است. بنابراین این امکان وجود دارد که جمع هر ستون سوپرماتریس اولیه بیش از یک باشد (متنااسب با بردار ویژه‌هایی که در هر ستون وجود

$$\Lambda = [a_{ij}] \quad i, j = 1, 2, \dots, n \quad \text{رابطه (۷)}$$

هر ماتریس مقایسه زوجی ممکن است سازگار یا ناسازگار باشد. در حالتی که این ماتریس سازگار باشد محاسبه وزن ساده بوده و از نرمال کردن عناصر هر ستون به دست می‌آید. اما در حالتی که ماتریس ناسازگار باشد محاسبه وزن ساده نبوده و برای به دست آوردن آن چهار روش مطرح می‌باشد که عبارتند از (قدسی پور، ۱۳۸۴):

- روش حداقل مربعات
- روش حداقل مربعات لگاریتمی
- روش بردار ویژه
- روش تقریبی

از آنجا که در این تحقیق از روش بردار ویژه جهت محاسبه وزن‌ها کلاس‌های هر معیار استفاده گردیده به تشریح این روش می‌پردازیم. در روش بردار ویژه  $w_i$ ‌ها به گونه‌ای تعیین می‌شوند که روابط زیر صادق باشند:

$$\text{رابطه (۸)}$$

$$\begin{bmatrix} a_{11}w_1 + a_{12}w_2 + \dots + a_{1n}w_n = \lambda w_1 \\ a_{21}w_1 + a_{22}w_2 + \dots + a_{2n}w_n = \lambda w_2 \\ \vdots \\ a_{n1}w_1 + a_{n2}w_2 + \dots + a_{nn}w_n = \lambda w_n \end{bmatrix}$$

که در آن  $a_{ij}$  میزان ترجیح عنصر  $i$  نسبت به عنصر  $j$  است و  $w_i$  نیز وزن عنصر  $i$  و  $\lambda$  یک عدد ثابت می‌باشد. این روش یک نوع میانگین‌گیری است که هارکر<sup>۱</sup> آن را میانگین در طرق مختلف ممکن می‌داند. زیرا در این روش

مکانیابی عرصه‌های مناسب پخش سیلاب از روش مقایسه زوجی استفاده گردید. این روش اولین بار توسط توماس ال ساعتی ریاضی‌دان مشهور امریکایی (۱۹۸۰) مطرح شد که در صدد برآمد تا راهکار مناسبی را برای تصمیم گیرندگان در مورد مسائل پیچیده که عوامل متعددی در آن دخیل بودند، ارائه دهد. مقایسه زوجی ساعتی نشان می‌دهد که چگونه می‌توان اهمیت نسبی مجموعه‌ای از فعالیتها در مسائل تصمیم‌گیری چندمعیاره را تعیین کرد. این فرآیند امکان قضاوت را در مورد معیارهای کیفی غیرعینی و معیارهای کمی عینی را بوجود می‌آورد (قدسی پور، ۱۳۸۴). به منظور تعیین وزن، ابتدا ماتریس مقایسه زوجی برای هر یک معیارها تشکیل شده و زیرمعیارها (کلاس‌های مربوط به هر معیار) به صورت زوجی مقایسه گردیدند. در مقایسه زوجی به هر یک از معیارها وزنی مشخص در مقیاس ۱ تا ۹ داده شد. سپس با استفاده از این ماتریس مقایسه زوجی وزن نسبی عناصر محاسبه می‌گردد. به طور کلی، یک ماتریس مقایسه زوجی به صورت زیر نشان داده می‌شود که در آن  $a_{ij}$  ترجیح عنصر  $i$  نسبت به عنصر  $j$  است. حال با مشخص شدن  $w_i$ ‌ها می‌توانیم وزن عناصر یعنی  $w_i$ ‌ها را به صورت زیر بدست آوریم:

$$A = \begin{bmatrix} a_{11} & a_{12} & \dots & a_{1n} \\ a_{21} & a_{22} & \dots & a_{2n} \\ \vdots & \vdots & \ddots & \vdots \\ a_{n1} & a_{n2} & \dots & a_{nn} \end{bmatrix} \quad \text{رابطه (۶)}$$

یا

<sup>۱</sup> Harker

$$(A - \lambda_{\max} I) \times W = 0$$

محاسبه می‌شود (قدسی پور، ۱۳۸۴).

#### ۴- بحث

##### ۴-۱- پردازش و تلفیق داده‌ها

پردازش و تحلیل داده‌ها در این پژوهش با توجه به پارامترهای شیب، کیفیت آب‌های زیرزمینی، زمین‌شناسی، ضخامت آبرفت، کاربری اراضی، قابلیت انتقال، ژئومورفولوژی و تراکم زهکشی صورت گرفته است. پس از آماده‌سازی و تهیه لایه‌های اطلاعاتی براساس شکل ۱، از روش مقایسه زوجی برای تعیین وزن کلاس‌های هر لایه و از روش ANP برای تعیین وزن‌های معیارها استفاده گردید. برای تعیین وزن‌ها از نرم‌افزار Super Decision استفاده گردید. روند کلی برای تعیین وزن معیارهای تاثیرگذار در مکانیابی عرصه‌های مناسب پخش سیلاب با استفاده از روش ANP در بالا تشریح شد. در این روش، معیارها در سه خوش‌ه شامل معیارهای توپوگرافیک و مورفولوژیک، معیارهای هیدرولوژیک و ژئوهیدرولوژیک و سایر معیارها قرار گرفتند. در ذیل هر خوش‌ه دسته‌ای از عناصر قرار دارند. این عناصر علاوه بر آنکه در داخل خوش‌ه به هم مرتبط هستند، در بین خوش‌های نیز وابستگی دارند که این وابستگی در شکل ۶ نشان داده شده است.

وزن عنصر  $i^{\text{th}}$  (یعنی  $w_i$ ) طبق تعریف بالا برابر

است با:

رابطه (۹)

$$w_i = \frac{1}{n} \sum_{j=1}^n a_{ij} w_j \quad i = 1, 2, \dots, n$$

دستگاه معادلات فوق را می‌توان به صورت زیر نوشت:

رابطه (۱۰)

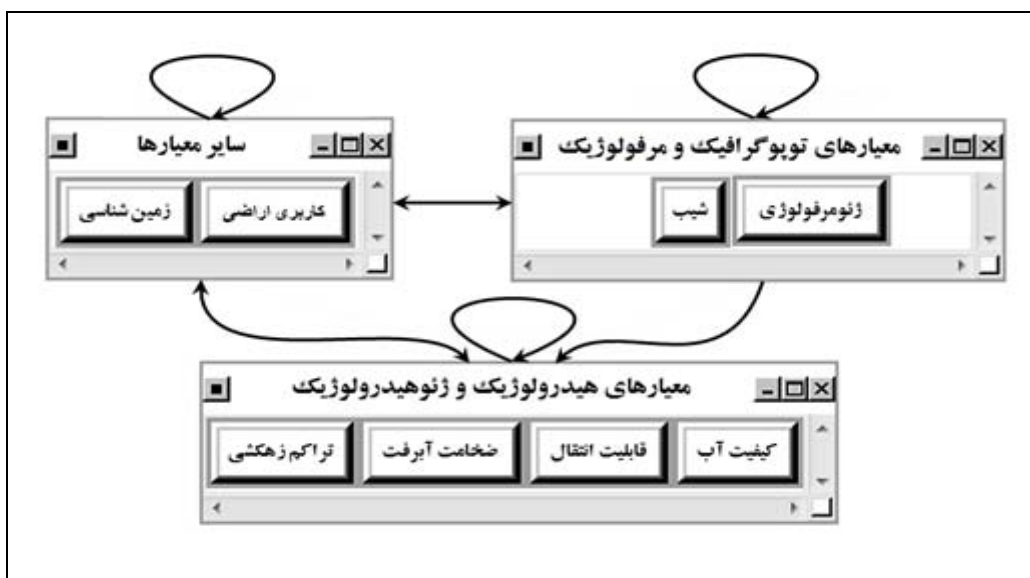
$$A \times W = \lambda \times W$$

که  $A$  همان ماتریس مقایسه زوجی و  $W$  همان بردار وزن و  $\lambda$  یک اسکالر است. طبق تعریف چنانچه این رابطه بین یک ماتریس ( $A$ ) و بردار ( $W$ ) و عدد  $\lambda$  برقرار باشد گفته می‌شود که بردار ویژه برای ماتریس  $A$  می‌باشد. به طور کلی، در روش بردار ویژه برای محاسبه وزن‌ها باید طبق مراحل زیر عمل شود:

- تشکیل یک ماتریس مانند ماتریس  $A$
- مشخص کردن ماتریس  $(A - \lambda I)$
- محاسبه دترمینان ماتریس  $(A - \lambda I)$

قرار دادن آن برابر با صفر، آنگاه محاسبه مقادیر  $\lambda$

بزرگترین  $\lambda$  نامیله می‌شود، آن را در رابطه  $(A - \lambda_{\max} I) \times W = 0$  قرار داده و با استفاده از رابطه‌ی



شکل ۶- ساختار شبکه‌ای مدل مکانیابی عرصه‌های مناسب پخش سیلان

لازم به ذکر است که به دلیل فراوانی جداول وزن کلاس‌های هر معیار و تشابه موضوعی این جداول از نمایش جداول مقایسه زوجی همه‌ی این معیارها خودداری بعمل آمد و به عنوان نمونه در روش مقایسه زوجی، تنها به جدول مقایسه زوجی کلاس‌های شبیه به همراه وزن آن (جدول ۱)، جدول کلاس‌بندی مربوط به هر معیار به همراه وزن نسبی آن حاصل از (جدول ۲) اکتفا شد، همچنین در روش ANP به جدول سوپرماتریس اولیه (جدول ۳) و جدول وزن نهایی معیارها (جدول ۴) بستنده شد و از آوردن جداول سوپرماتریس وزنی و سوپرماتریس حد، وزن عمومی خودداری به عمل آمد.

#### جدول ۱- جدول مقایسه زوجی طبقات شبیه و وزن استاندارد شده آنها

شبیه	۰-۳ درصد	۳-۵ درصد	۵-۸ درصد	وزن نسبی
۰-۳ درصد	۱	۳	۵	۰/۶۴۸
۳-۵ درصد	۱/۳	۱	۳	۰/۲۳۰
۵-۸ درصد	۱/۵	۱/۳	۱	۰/۱۲۲

در گام بعد، براساس وزن کلاس‌های هر لایه، لایه‌های مختلف در محیط GIS پهنه‌بندی گردید، سپس وزن معیارها در لایه‌های مربوطه ضرب و همراه با آن عملیات تلفیق لایه‌ها صورت گرفت. در نهایت، نقشه نهایی به صورت رستری حاصل گردید و برای دست پیدا کردن به نتایج بهتر با استفاده از روش‌های شکست طبیعی<sup>۱</sup> کل منطقه به پنج کلاس از کاملاً مناسب تا نامناسب تقسیم‌بندی شد. این روش برای تعیین بهترین آرایش ارزش‌ها به طبقات مختلف طراحی شده است. این روش به دنبال به حداقل رساندن انحراف متوسط هر طبقه از طبقه میانگین و به حداقل رساندن انحراف هر کلاس از میانگین گروه‌های دیگر انجام می‌شود. به عبارت دیگر، این روش طبقه‌بندی داده به دنبال کاهش واریانس در کلاس‌ها و به حداقل رساندن واریانس بین طبقات است.

<sup>۱</sup>- Natural Breaks

جدول ۲ - کلاس‌بندی مربوط به هر معیار به همراه وزن نسبی آنها

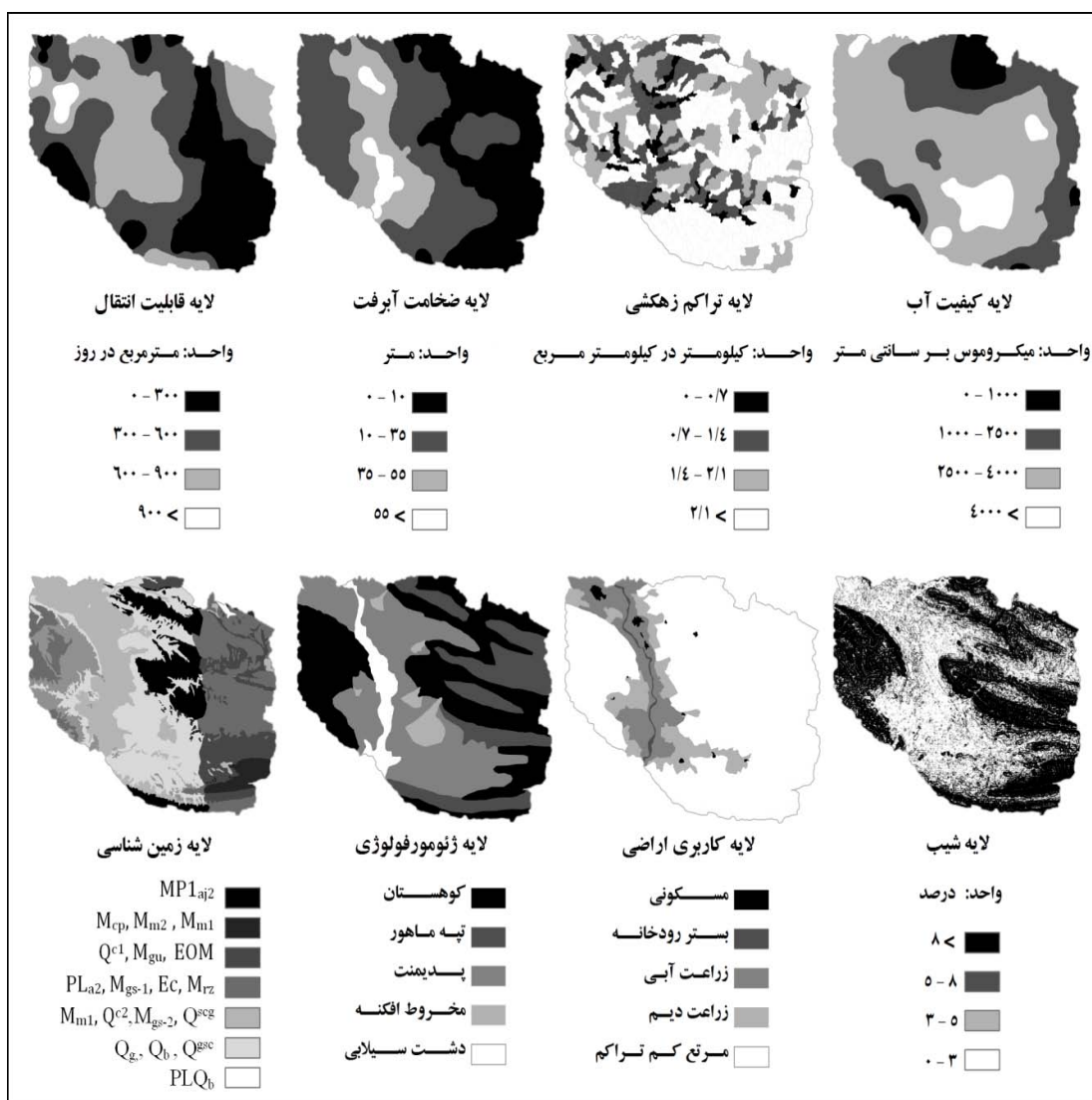
			وزن نسبی
-	-	-	۰/۱۳۷
-	-	> ۹۰۰	۰/۱۹۶
-	-	۹۰۰ - ۹۰۰	۰/۲۰۰
-	-	۹۰۰ - ۶۰۰	۰/۲۰۰
-	-	۶۰۰ - ۳۰۰	۰/۲۰۰ - ۰/۳۰۰
-	-	کالدهای قابلیت انتقال	کالدهای قابلیت انتقال
-	-	وزن نسبی	وزن نسبی
-	-	کالس‌های تراکم زهکشی	کالس‌های تراکم زهکشی
-	-	۰/۲۹۰	۰/۲۹۰
-	-	۰/۱۷۱	۰/۱۷۱
-	-	۰/۱۴۳	۰/۱۴۳
-	-	۰/۱۱۷	۰/۱۱۷
-	-	۰/۰۹۶	۰/۰۹۶
-	-	۰/۱۳۴	۰/۱۳۴
-	-	۰/۱۲۱	۰/۱۲۱
-	-	۰/۱۲۳	۰/۱۲۳
-	-	۰/۱۴۷	۰/۱۴۷
-	-	۰/۱۵۰	۰/۱۵۰
-	-	۰/۱۷۱	۰/۱۷۱
-	-	۰/۱۸۳	۰/۱۸۳
-	-	۰/۱۹۶	۰/۱۹۶
-	-	۰/۲۰۰	۰/۲۰۰
-	-	۰/۲۰۵	۰/۲۰۵
-	-	۰/۲۱۰	۰/۲۱۰
-	-	۰/۲۱۵	۰/۲۱۵
-	-	۰/۲۲۰	۰/۲۲۰
-	-	۰/۲۲۳	۰/۲۲۳
-	-	۰/۲۲۷	۰/۲۲۷
-	-	۰/۲۳۱	۰/۲۳۱
-	-	۰/۲۳۵	۰/۲۳۵
-	-	۰/۲۴۰	۰/۲۴۰
-	-	۰/۲۴۵	۰/۲۴۵
-	-	۰/۲۵۰	۰/۲۵۰
-	-	۰/۲۵۵	۰/۲۵۵
-	-	۰/۲۶۰	۰/۲۶۰
-	-	۰/۲۶۵	۰/۲۶۵
-	-	۰/۲۷۰	۰/۲۷۰
-	-	۰/۲۷۵	۰/۲۷۵
-	-	۰/۲۸۰	۰/۲۸۰
-	-	۰/۲۸۵	۰/۲۸۵
-	-	۰/۲۹۰	۰/۲۹۰
-	-	۰/۲۹۵	۰/۲۹۵
-	-	۰/۳۰۰	۰/۳۰۰
-	-	۰/۳۰۵	۰/۳۰۵
-	-	۰/۳۱۰	۰/۳۱۰
-	-	۰/۳۱۵	۰/۳۱۵
-	-	۰/۳۲۰	۰/۳۲۰
-	-	۰/۳۲۵	۰/۳۲۵
-	-	۰/۳۳۰	۰/۳۳۰
-	-	۰/۳۳۵	۰/۳۳۵
-	-	۰/۳۴۰	۰/۳۴۰
-	-	۰/۳۴۵	۰/۳۴۵
-	-	۰/۳۵۰	۰/۳۵۰
-	-	۰/۳۵۵	۰/۳۵۵
-	-	۰/۳۶۰	۰/۳۶۰
-	-	۰/۳۶۵	۰/۳۶۵
-	-	۰/۳۷۰	۰/۳۷۰
-	-	۰/۳۷۵	۰/۳۷۵
-	-	۰/۳۸۰	۰/۳۸۰
-	-	۰/۳۸۵	۰/۳۸۵
-	-	۰/۳۹۰	۰/۳۹۰
-	-	۰/۳۹۵	۰/۳۹۵
-	-	۰/۴۰۰	۰/۴۰۰
-	-	۰/۴۰۵	۰/۴۰۵
-	-	۰/۴۱۰	۰/۴۱۰
-	-	۰/۴۱۵	۰/۴۱۵
-	-	۰/۴۲۰	۰/۴۲۰
-	-	۰/۴۲۵	۰/۴۲۵
-	-	۰/۴۳۰	۰/۴۳۰
-	-	۰/۴۳۵	۰/۴۳۵
-	-	۰/۴۴۰	۰/۴۴۰
-	-	۰/۴۴۵	۰/۴۴۵
-	-	۰/۴۵۰	۰/۴۵۰
-	-	۰/۴۵۵	۰/۴۵۵
-	-	۰/۴۶۰	۰/۴۶۰
-	-	۰/۴۶۵	۰/۴۶۵
-	-	۰/۴۷۰	۰/۴۷۰
-	-	۰/۴۷۵	۰/۴۷۵
-	-	۰/۴۸۰	۰/۴۸۰
-	-	۰/۴۸۵	۰/۴۸۵
-	-	۰/۴۹۰	۰/۴۹۰
-	-	۰/۴۹۵	۰/۴۹۵
-	-	۰/۵۰۰	۰/۵۰۰
-	-	۰/۵۰۵	۰/۵۰۵
-	-	۰/۵۱۰	۰/۵۱۰
-	-	۰/۵۱۵	۰/۵۱۵
-	-	۰/۵۲۰	۰/۵۲۰
-	-	۰/۵۲۵	۰/۵۲۵
-	-	۰/۵۳۰	۰/۵۳۰
-	-	۰/۵۳۵	۰/۵۳۵
-	-	۰/۵۴۰	۰/۵۴۰
-	-	۰/۵۴۵	۰/۵۴۵
-	-	۰/۵۵۰	۰/۵۵۰
-	-	۰/۵۵۵	۰/۵۵۵
-	-	۰/۵۶۰	۰/۵۶۰
-	-	۰/۵۶۵	۰/۵۶۵
-	-	۰/۵۷۰	۰/۵۷۰
-	-	۰/۵۷۵	۰/۵۷۵
-	-	۰/۵۸۰	۰/۵۸۰
-	-	۰/۵۸۵	۰/۵۸۵
-	-	۰/۵۹۰	۰/۵۹۰
-	-	۰/۵۹۵	۰/۵۹۵
-	-	۰/۶۰۰	۰/۶۰۰
-	-	۰/۶۰۵	۰/۶۰۵
-	-	۰/۶۱۰	۰/۶۱۰
-	-	۰/۶۱۵	۰/۶۱۵
-	-	۰/۶۲۰	۰/۶۲۰
-	-	۰/۶۲۵	۰/۶۲۵
-	-	۰/۶۳۰	۰/۶۳۰
-	-	۰/۶۳۵	۰/۶۳۵
-	-	۰/۶۴۰	۰/۶۴۰
-	-	۰/۶۴۵	۰/۶۴۵
-	-	۰/۶۵۰	۰/۶۵۰
-	-	۰/۶۵۵	۰/۶۵۵
-	-	۰/۶۶۰	۰/۶۶۰
-	-	۰/۶۶۵	۰/۶۶۵
-	-	۰/۶۷۰	۰/۶۷۰
-	-	۰/۶۷۵	۰/۶۷۵
-	-	۰/۶۸۰	۰/۶۸۰
-	-	۰/۶۸۵	۰/۶۸۵
-	-	۰/۶۹۰	۰/۶۹۰
-	-	۰/۶۹۵	۰/۶۹۵
-	-	۰/۷۰۰	۰/۷۰۰
-	-	۰/۷۰۵	۰/۷۰۵
-	-	۰/۷۱۰	۰/۷۱۰
-	-	۰/۷۱۵	۰/۷۱۵
-	-	۰/۷۲۰	۰/۷۲۰
-	-	۰/۷۲۵	۰/۷۲۵
-	-	۰/۷۳۰	۰/۷۳۰
-	-	۰/۷۳۵	۰/۷۳۵
-	-	۰/۷۴۰	۰/۷۴۰
-	-	۰/۷۴۵	۰/۷۴۵
-	-	۰/۷۵۰	۰/۷۵۰
-	-	۰/۷۵۵	۰/۷۵۵
-	-	۰/۷۶۰	۰/۷۶۰
-	-	۰/۷۶۵	۰/۷۶۵
-	-	۰/۷۷۰	۰/۷۷۰
-	-	۰/۷۷۵	۰/۷۷۵
-	-	۰/۷۸۰	۰/۷۸۰
-	-	۰/۷۸۵	۰/۷۸۵
-	-	۰/۷۹۰	۰/۷۹۰
-	-	۰/۷۹۵	۰/۷۹۵
-	-	۰/۸۰۰	۰/۸۰۰
-	-	۰/۸۰۵	۰/۸۰۵
-	-	۰/۸۱۰	۰/۸۱۰
-	-	۰/۸۱۵	۰/۸۱۵
-	-	۰/۸۲۰	۰/۸۲۰
-	-	۰/۸۲۵	۰/۸۲۵
-	-	۰/۸۳۰	۰/۸۳۰
-	-	۰/۸۳۵	۰/۸۳۵
-	-	۰/۸۴۰	۰/۸۴۰
-	-	۰/۸۴۵	۰/۸۴۵
-	-	۰/۸۵۰	۰/۸۵۰
-	-	۰/۸۵۵	۰/۸۵۵
-	-	۰/۸۶۰	۰/۸۶۰
-	-	۰/۸۶۵	۰/۸۶۵
-	-	۰/۸۷۰	۰/۸۷۰
-	-	۰/۸۷۵	۰/۸۷۵
-	-	۰/۸۸۰	۰/۸۸۰
-	-	۰/۸۸۵	۰/۸۸۵
-	-	۰/۸۹۰	۰/۸۹۰
-	-	۰/۸۹۵	۰/۸۹۵
-	-	۰/۹۰۰	۰/۹۰۰
-	-	۰/۹۰۵	۰/۹۰۵
-	-	۰/۹۱۰	۰/۹۱۰
-	-	۰/۹۱۵	۰/۹۱۵
-	-	۰/۹۲۰	۰/۹۲۰
-	-	۰/۹۲۵	۰/۹۲۵
-	-	۰/۹۳۰	۰/۹۳۰
-	-	۰/۹۳۵	۰/۹۳۵
-	-	۰/۹۴۰	۰/۹۴۰
-	-	۰/۹۴۵	۰/۹۴۵
-	-	۰/۹۵۰	۰/۹۵۰
-	-	۰/۹۵۵	۰/۹۵۵
-	-	۰/۹۶۰	۰/۹۶۰
-	-	۰/۹۶۵	۰/۹۶۵
-	-	۰/۹۷۰	۰/۹۷۰
-	-	۰/۹۷۵	۰/۹۷۵
-	-	۰/۹۸۰	۰/۹۸۰
-	-	۰/۹۸۵	۰/۹۸۵
-	-	۰/۹۹۰	۰/۹۹۰
-	-	۰/۹۹۵	۰/۹۹۵
-	-	۰/۱۰۰۰	۰/۱۰۰۰
-	-	۰/۱۰۰۵	۰/۱۰۰۵
-	-	۰/۱۰۱۰	۰/۱۰۱۰
-	-	۰/۱۰۱۵	۰/۱۰۱۵
-	-	۰/۱۰۲۰	۰/۱۰۲۰
-	-	۰/۱۰۲۵	۰/۱۰۲۵
-	-	۰/۱۰۳۰	۰/۱۰۳۰
-	-	۰/۱۰۳۵	۰/۱۰۳۵
-	-	۰/۱۰۴۰	۰/۱۰۴۰
-	-	۰/۱۰۴۵	۰/۱۰۴۵
-	-	۰/۱۰۵۰	۰/۱۰۵۰
-	-	۰/۱۰۵۵	۰/۱۰۵۵
-	-	۰/۱۰۶۰	۰/۱۰۶۰
-	-	۰/۱۰۶۵	۰/۱۰۶۵
-	-	۰/۱۰۷۰	۰/۱۰۷۰
-	-	۰/۱۰۷۵	۰/۱۰۷۵
-	-	۰/۱۰۸۰	۰/۱۰۸۰
-	-	۰/۱۰۸۵	۰/۱۰۸۵
-	-	۰/۱۰۹۰	۰/۱۰۹۰
-	-	۰/۱۰۹۵	۰/۱۰۹۵
-	-	۰/۱۱۰۰	۰/۱۱۰۰
-	-	۰/۱۱۰۵	۰/۱۱۰۵
-	-	۰/۱۱۱۰	۰/۱۱۱۰
-	-	۰/۱۱۱۵	۰/۱۱۱۵
-	-	۰/۱۱۲۰	۰/۱۱۲۰
-	-	۰/۱۱۲۵	۰/۱۱۲۵
-	-	۰/۱۱۳۰	۰/۱۱۳۰
-	-	۰/۱۱۳۵	۰/۱۱۳۵
-	-	۰/۱۱۴۰	۰/۱۱۴۰
-	-	۰/۱۱۴۵	۰/۱۱۴۵
-	-	۰/۱۱۵۰	۰/۱۱۵۰
-	-	۰/۱۱۵۵	۰/۱۱۵۵
-	-	۰/۱۱۶۰	۰/۱۱۶۰
-	-	۰/۱۱۶۵	۰/۱۱۶۵
-	-	۰/۱۱۷۰	۰/۱۱۷۰
-	-	۰/۱۱۷۵	۰/۱۱۷۵
-	-	۰/۱۱۸۰	۰/۱۱۸۰
-	-	۰/۱۱۸۵	۰/۱۱۸۵
-	-	۰/۱۱۹۰	۰/۱۱۹۰
-	-	۰/۱۱۹۵	۰/۱۱۹۵
-	-	۰/۱۲۰۰	۰/۱۲۰۰
-	-	۰/۱۲۰۵	۰/۱۲۰۵
-	-	۰/۱۲۱۰	۰/۱۲۱۰
-	-	۰/۱۲۱۵	۰/۱۲۱۵
-	-	۰/۱۲۲۰	۰/۱۲۲۰
-	-	۰/۱۲۲۵	۰/۱۲۲۵
-	-	۰/۱۲۳۰	۰/۱۲۳۰
-	-	۰/۱۲۳۵	۰/۱۲۳۵
-	-	۰/۱۲۴۰	۰/۱۲۴۰
-	-	۰/۱۲۴۵	۰/۱۲۴۵
-	-	۰/۱۲۵۰	۰/۱۲۵۰
-	-	۰/۱۲۵۵	۰/۱۲۵۵
-	-	۰/۱۲۶۰	۰/۱۲۶۰
-	-	۰/۱۲۶۵	۰/۱۲۶۵
-	-	۰/۱۲۷۰	۰/۱۲۷۰
-	-	۰/۱۲۷۵	۰/۱۲۷۵
-	-	۰/۱۲۸۰	۰/۱۲۸۰
-	-	۰/۱۲۸۵	۰/۱۲۸۵
-	-	۰/۱۲۹۰	۰/۱۲۹۰
-	-	۰/۱۲۹۵	۰/۱۲۹۵
-	-	۰/۱۳۰۰	۰/۱۳۰۰
-	-	۰/۱۳۰۵	۰/۱۳۰۵
-	-	۰/۱۳۱۰	۰/۱۳۱۰
-	-	۰/۱۳۱۵	۰/۱۳۱۵
-	-	۰/۱۳۲۰	۰/۱۳۲۰
-	-	۰/۱۳۲۵	۰/۱۳۲۵
-	-	۰/۱۳۳۰</	

## جدول ۳- جدول سوپر ماتریس اولیه

خوش سایر معیارها		خوش معیارهای هیدرولوژیک و زیوهیدرولوژیک				خوش معیارهای توبوگرافیک و مورفوولوژیک		
کاربری اراضی	زمین شناسی	قابلیت انتقال	ضخامت آبرفت	تراکم زهکشی	کیفیت آب	ذئبومورفوولوژی	شب	
۷۵۳۲	۱	۱	۷۰۷۱	۱	۱	۱	۱	شب
۷۴۵۴	۱	۱	۷۴۴۱	۱	۱	۱	۱	ذئبومورفوولوژی
	۷۱۵۶	۷۲۰۱	۷۱۰۱	۷۳۱۸	۱	۱	۷۱۸۷	کیفیت آب
	۷۲۶۸	۷۴۴۹	۷۰۱۲	۷۰۲۱	۱	۱	۷۳۰۴	تراکم زهکشی
	۷۱۴۰	۷۲۰۹	۱	۷۲۴۷	۷۱۴۹	۱	۷۱۴۸	ضخامت آبرفت
	۷۲۲۳	۱	۷۱۲۶	۷۳۴۲	۷۳۴۶	۱	۷۳۱۳	قابلیت انتقال
	۱	۱	۷۸۷۱	۱	۱	۷۷۸۲	۷۷۲۳	زمین شناسی
۱	۱	۱	۷۱۳۴	۱	۱	۷۲۲۰	۷۲۷۸	کاربری اراضی

## جدول ۴- وزن‌های نهایی معیارهای هشتگانه اصلی با استفاده از نرم افزار Super Decision

وزن نهایی	وزن عمومی (قائم پنجم)	عناصر	وزن خوش‌ها (قائم دوم)	خوش‌ها
۰/۰۵	۰/۱۶	شب	۰/۲۷۹	معیارهای توبوگرافیک و مورفوولوژیک
۰/۰۴	۰/۱۳۱	ذئبومورفوولوژی		
۰/۰۴	۰/۰۸۱	کیفیت آب	۰/۴۷۴	معیارهای هیدرولوژیک و زیوهیدرولوژیک
۰/۰۸	۰/۱۸۲	تراکم زهکشی		
۰/۰۳۲	۰/۰۶۹	ضخامت آبرفت		
۰/۰۰۵	۰/۱۱۸	قابلیت انتقال		
۰/۰۵	۰/۲۰۵	زمین شناسی	۰/۲۷۴	سایر معیارها
۰/۰۱۳	۰/۰۵۴	کاربری اراضی		



شکل ۷- نمایش شماتیک هشت لایه پهنه‌بندی شده به روشن مقایسه زوجی

داده شده است. نتایج پژوهش حاضر نشان می‌دهد که بیشتر مناطق کاملاً مناسب و مناسب برای پخش سیالاب از نظر ژئومورفولوژیکی و زمین‌شناسی به ترتیب در مناطق مخروط‌افکنه‌ای و پدیمته‌ی و در واحدهای کواترنری  $Q_b$ ،  $Q_g$  و  $Q_{gsc}$  قرار گرفته‌اند. دلایل آن می‌تواند قرارگیری این واحدها در حواشی آبراهه‌ها و در شیب‌های کم، تشکیل شدن این واحدها از آهک، سیلت، ماسه و گراول و نیز نفوذپذیری خوب این واحدها تلقی گردد. شکل ۹ اولویت‌بندی

#### ۴- یافته‌های تحقیق

بر پایه نقشه زون‌بندی نهایی، از مجموع کل مساحت دشت گربایگان، حدود ۷/۷۹ کیلومتر مربع کاملاً مناسب، ۸۰/۶۱۵ کیلومتر مربع مناسب، ۱۵۶/۶۰۳ کیلومتر مربع نسبتاً مناسب، ۵۱/۱۷۴ کیلومتر مربع نسبتاً نامناسب و ۱/۸۸۳ کیلومتر مربع نامناسب برای عملیات پخش سیالاب تعیین گردید. در جدول ۴ مساحت این پنج کلاس بر حسب کیلومتر مربع و درصد نشان

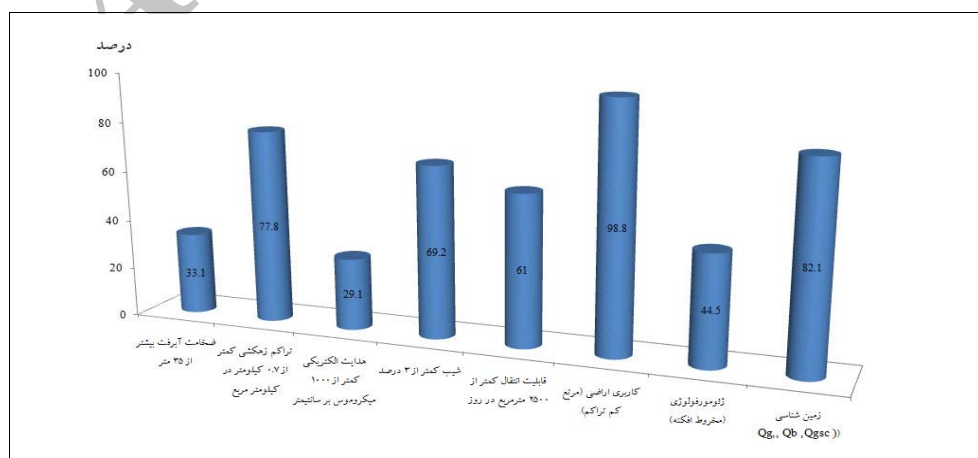
مفهومی با سامانه اطلاعات جغرافیایی اشاره کردند.

در مطالعه حاضر بیشتر مناطق مستعد پخش سیلاب در واحدهای کواترنری که پیشتر به آن اشاره شد، قرار گرفته‌اند، این نتایج نیز با یافته‌های عبدي (۱۳۸۴) که حدود ۴۰ درصد از سطح مورد مطالعه که برای عملیات پخش سیلاب مناسب بودند را در عرصه‌های کواترنری مکانیابی کرد، هماهنگی دارد.

از نظر شبیه نیز در شبیه‌های ۰-۳ درصد که با نتایج قرمچشم و همکاران (۱۳۷۹) و قیومیان (۲۰۰۵) که عرصه‌های مناسب پخش سیلاب را کمتر از ۳ درصد مناسب تشخیص دادند منطبق است. شکل ۸ نشان دهنده حساسیت هر یک از پارامترهای ورودی در مدل است. برای آنالیز حساسیت، عرصه‌های کاملاً مناسب تعیین شده توسط روش ANP در هر یک از پارامترها مورد بررسی قرار گرفت و میزان انطباق این عرصه‌ها با کلاس کاملاً مناسب هر یک از پارامترها محاسبه گردید.

بخش‌های مختلف منطقه مطالعاتی را از نظر پخش سیلاب نشان می‌دهد. نتایج حاصل از این روش با استفاده از کترل زمینی مورد بررسی و تحلیل قرار گرفت که حاکی از برآورده شدن تمامی معیارهای انتخابی در نواحی کاملاً مناسب و رضایت‌بخش بودن به کارگیری روش‌های MCDM در تلفیق با GIS در امر مکانیابی عرصه‌های مناسب برای تغذیه مصنوعی آبخوان-ها است.

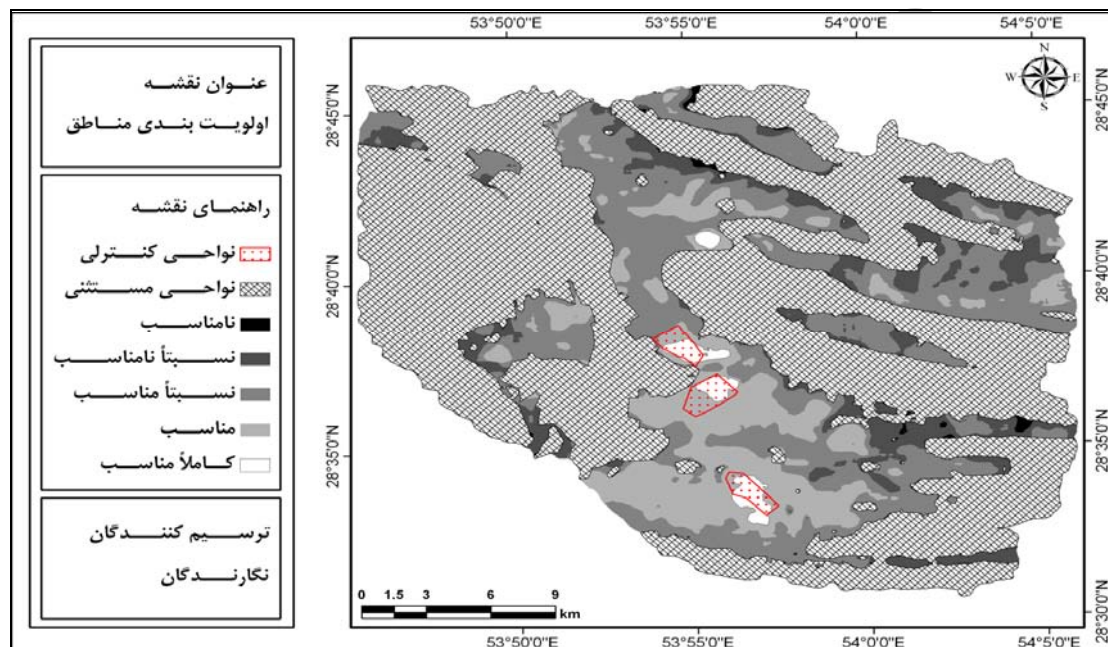
علاوه بر کترل زمینی، به منظور بررسی کارایی به کارگیری همزمان سیستم اطلاعات جغرافیایی و سیستم پشتیبانی تصمیم‌گیری نقشه‌های پهنه‌بندی مناطق مناسب پخش سیلاب با عرصه‌های کترل همپوشانی داده شدند. شکل ۹ همپوشانی عرصه‌های کترلی با مناطق کاملاً مناسب را نشان می‌دهد. نتایج حاصل حاکی از توانایی قابل قبول این مدل می‌باشد، که در این راستا مهرورز مغانلو و همکاران (۱۳۸۴)، خیرخواه زرکش و همکاران (۲۰۰۸) و آل شیخ و همکاران (۱۳۸۱) نیز در تحقیقات خود به سازگاری و افزایش دقت در بکارگیری مدل‌های



شکل ۸- نمودار آنالیز حساسیت پارامترهای ورودی

درصد عرصه‌های کاملاً مناسب منطبق بر شیب ۳-۰ درصد، در پارامتر کاربری اراضی ۹۸.۸ درصد عرصه‌های کاملاً مناسب منطبق بر مرتع کم تراکم بوده است. نتایج آنالیز حساسیت مدل نیز خاکی از این است که بخش قابل توجهی از کلاس کاملاً مناسب نقشه نهایی منطبق بر کلاس‌های کاملاً مناسب هر یک از پارامترها بود.

به عنوان نمونه این نمودار بیانگر این است که در پارامتر ضخامت آبرفت ۳۳ درصد عرصه‌های کاملاً مناسب حاصل از روش ANP منطبق بر ضخامت آبرفت بیشتر از ۳۵ متر بوده، در پارامتر تراکم زهکشی ۷۷.۸ درصد عرصه‌های کاملاً مناسب منطبق بر کلاس کوچکتر از ۰.۷ کیلومتر در کیلومترمربع، در پارامتر شیب ۶۹.۲



شکل ۹- نقشه اولویت‌بندی اراضی دشت گربایگان از نظر تناسب برای عملیات پخش سیلان

### ۳-۴- ارزیابی مدل

برای ارزیابی مدل از عرصه‌های اجراشده پخش سیلان توسط وزرات جهاد کشاورزی به عنوان عرصه‌های کنترل استفاده شده است. به این منظور نقشه مکانهای مناسب پخش سیلان در مدل با نقشه عرصه‌های کنترل مقایسه شده و تعداد کل پیکسل‌های منطبق بر عرصه‌های کنترلی در کلاس کاملاً مناسب حاصل از روش ANP (مساحت عرصه‌های پیشنهادی منطبق بر عرصه‌های کنترلی) نسبت به فراوانی تعداد

### جدول ۵- جدول مساحت کلاس‌ها از کاملاً مناسب تا

#### نامناسب بر حسب کیلومتر مربع و درصد

کلاس‌ها	مساحت (کیلومتر مربع)	مساحت (درصد)
لایه محدودیت	۴۱۶۴۱۱	۵۸
کاملاً مناسب	۷/۷۹	۱
مناسب	۸۰/۹۱۵	۱۲
نسبتاً مناسب	۱۵۶/۶۰۳	۲۱/۴
نسبتاً نامناسب	۵۱/۱۷۴	۷
نامناسب	۱/۸۸۳	۰/۶
جمع	۷۱۴/۴۷۵	۱۰۰

ANP و مقایسه زوجی در رویکردی تلفیقی با سیستم اطلاعات جغرافیایی استفاده گردید. برای این منظور با توجه به مطالعات پیشین و شرایط محلی منطقه از تأثیرگذارترین و با اهمیت‌ترین عوامل برای تعیین عرصه‌های مناسب پخش سیالاب استفاده شد. نتایج حاصل از این پژوهش، حاکی از کارایی قابل قبول روش ANP در ارزیابی سریع مناطق وسیع در زمینه انتخاب مکان‌های مناسب برای عملیات پخش سیالاب می‌باشد. از آنجا که روش ANP بطور سیستماتیک با وابستگی‌ها ببرخورد می‌کند یعنی تمام وابستگی‌های بیرونی و درونی میان عناصر و خوش‌ها را برای تحلیل در نظر می‌گیرد، اما سایر روش‌ها این روابط را کمتر در نظر می‌گیرند. بنابراین با توجه به وابستگی‌های مسائل محیطی (از جمله موضوع مورد بحث) استفاده از روش ANP پشتیبانی‌های لازم را برای تصمیم‌گیرندگان و برنامه‌ریزان در حل مسائل مدیریت آب به عمل می‌آورد تا بتوانند درک عمیق‌تری از مسائل محیطی بدست آورند. از این‌رو این مطالعه می‌تواند به عنوان گامی برای تحقیقات آتی برای کاربرد بیشتر و استفاده عملی از آن در دیگر کارهای مکان‌یابی در تلفیق با GIS باشد.

اینک با استفاده از تجربه این پژوهش در بکارگیری تلفیقی روش‌های MCDM و سیستم‌های اطلاعات جغرافیایی به مدیران و برنامه‌ریزان حوزه‌های مدیریت منابع آب این پیشنهادات ارائه می‌گردد:

- به دلیل دقیق، سرعت و عملیاتی بودن سیستم‌های اطلاعات جغرافیایی در تلفیق با MCDM، مطالعه و پژوهش برای تعیین عرصه‌های مناسب پخش سیالاب در کشور بدون

پیکسل‌های مناسب پخش سیالاب در عرصه‌های کنترل (یا مساحت عرصه‌های کنترلی) محاسبه شد. در واقع درصد همپوشانی آنها معیار ارزیابی مدل در نظر گرفته شد. از طریق رابطه  $A$  میزان همپوشانی عرصه‌های پیشنهادی با عرصه‌های کنترل بدست آمد.

رابطه (۱۰)

$$A = \frac{\text{مساحت عرصه‌های پیشنهادی}}{\text{مساحت عرصه‌های کنترل}} * 100$$

$$A = ۷۷۹ / ۱۱.۱۴ = ۷۰$$

$A$  در واقع میزان صحت مدل است. نتایج حاصل از همپوشانی مقدار حدود ۷۰ درصد را بدست داد. یعنی اینکه حدود ۷۰ درصد عرصه‌های کاملاً مناسب با عرصه‌های کنترلی که عملیات پخش سیالاب در آن با موفقیت اجرا شده منطبق است که این حاکی از دقت قابل قبول روش بکار گرفته است.

## ۵- نتیجه‌گیری و پیشنهادها

رونده تخریب خاک و شدت سیل خیزی در کشور، طی چند دهه اخیر رشد قابل ملاحظه‌ای داشته است. عدمه دلایل این روند را می‌توان تغییرات در نوع، شیوه و میزان بهره‌برداری از منابع آب و خاک و پوشش گیاهی حوضه‌های آبخیز دانست. برنامه‌ریزی برای استفاده از سیالاب‌ها ضمن اینکه اثرات تخریبی آنها را کاهش می‌دهد، منبع آب جدیدی را در اختیار مصرف کنندگان قرار می‌دهد. پخش سیالاب یکی از روش‌هایی است که زمینه را برای بهره‌برداری مطلوب از سیالاب‌ها فراهم می‌آورد. در این پژوهش به منظور تعیین عرصه‌های مناسب برای پخش سیالاب در دشت گربایگان از روش

- خشک و کوهستانی، دانشکده منابع طبیعی، دانشگاه تهران.
- نخعی، محمد، (۱۳۸۸)، مقدمه‌ای بر آبهای زیرزمینی، انتشارات آراد کتاب، چاپ اول.
- قدسی پور ، سیدحسن (۱۳۸۴)، مباحثی در تصمیم گیری چند معیاره (فرایند تحلیل سلسه مراتبی)، تهران، انتشارات دانشگاه صنعتی امیرکبیر.
- Alesheikh,A. A., Soltani, M. J., Nouri,N., Khalilzadeh,M., (2008), Land assessment for flood spreading site selection using geospatial information system, International Jornal of Environmental Science Technology, Volume 5, pp. 455-462.
- ASCE STANDARD, (2001), Environmental and Water Resources Institute, American Society of Civil Engineers. Standard guidelines for artificial recharge of groundwater, ASCE standards, EWRI/ ASCE 34-01, 106 pp.
- Chowdhury , A., K. Jha, M., Chowdary, V.M., (2010), Delineation of groundwater recharge zones and identification of artificial recharge sites in West Medinipur district, West Bengal, using RS & GIS and MCDM techniques. Environmental Earth Science, Volume 59, pp. 1209–1222.
- Chung, S.H., Lee, A.H.L., Pearn,W.L., (2005), Analytic Network Process (ANP) Approach for Product Mix Planning in Semiconductor Fabricator, International Jornal of Production Economics, Volume 96, pp.15-36.
- Dyson, R.G., (2004), Strategic Development and SWOT Analysis at the University of Warwick, European Jornal of Operational Research, Volume 152, pp.631-640.
- Ertay, T., Ruan, D., Tuzkaya, U.R., (2006), Integrating Data Envelopment Analysis and Analytic Hierarchy for the Facility Designh in Manufacturing Systems, Information Science, Volume 176, pp 237-262.
- Foltz, RC, (2002), Iran's water crisis: cultural, political, and ethical

استفاده از این سیستم ها، یک بررسی ستی، زمان بر، هزینه بر و صرفاً نظری خواهد بود.

- به منظور افزایش کارایی و غنا بخشیدن به مطالعات کاربردی در زمینه‌ی انتخاب عرصه‌های مناسب برای پخش سیلاپ و سایر کارهای مکانیابی پیشنهاد می‌گردد که از روش‌های جدید سیستم‌های تصمیم‌گیری چند PROMETHEE II, ANP, GREY SYSTEM THEORY ELECTERE و ... استفاده گردد.

#### منابع

- احمدی، حسن، (۱۳۷۸)، ژئومرفولوژی کاربردی-جلد دوم (بیان)، انتشارات دانشگاه تهران.
- فرجی سبکبار، حسنعلی؛ سلمانی، محمد؛ فریدونی، فاطمه؛ کریمزاده، حسین؛ رحیمی، حسن (۱۳۸۷)؛ مکان یابی محل دفن بهداشتی زباله روستایی با استفاده از مدل فرایند شبکه‌ای تحلیل(ANP) در نواحی روستایی شهرستان قوچان، فصلنامه مدرس علوم انسانی، شماره ۱، صفحه ۱۴۹-۱۲۷.

- فرجی سبکبار، حسنعلی؛ بدری، سیدعلی؛ مطیعی لنگرودی، سیدحسن؛ شرفی، حجت-الله (۱۳۸۹)، سنجش میزان پایداری نواحی روستایی بر مبنای مدل تحلیل شبکه، با استفاده از تکنیک بردا؛ پژوهش‌های جغرافیای انسانی، شماره ۷۲، صفحه ۱۵۶-۱۳۵.

- قرمزچشم، باقر، (۱۳۷۹)، بررسی نهشته‌های کواترنر برای تعیین مناطق مستعد پخش سیلاپ، مطالعه موردی شمال شرق اصفهان، پایان نامه کارشناسی ارشد گروه احیای مناطق

- recharge of a groundwater system in the Southern Zagros Mountains, Iran, Jurnal of Mountain Research and Development, Volume 23, pp. 169-185.
- Momoh, J.A., Zhu, J.z., (1998), Application of AHP/ANP to Unit Commitment in the Deregulated Power Industry, In: IEEE International Conference on System, Man and Cybernetics, Vol. 1 San Diego, pp. 817-822.
- O'Hare MP, Fairchild DM, Hajali PA, (1986), Center LW Artificial recharge of groundwater. Lewis, New York, 419 pp.
- Oakford ET (1985) Artificial recharge: Methods, hydraulics, and monitoring. In: Asano T (ed) Artificial recharge of groundwater. Butterworth, 767 pp.
- Saaty, TL., 1980, The analytic Hierarchy Process: planning, priority setting, resource allocation. McGraw-Hill, New York, p 287.
- Saaty, T.L., (1996), Decision Making with Dependence and Feedback: The Analytic Network Process, Pittsburgh: RWS Publication.
- Saraf, A.K., Choudhury, P.R., (1998), Integrated remote sensing and GIS for groundwater exploration and identification of artificial recharge sites. International Journal of Remote Sensing, Volume 19, pp. 2595-2616.
- Sarkis, J., (2002), A Models for Supplier Selection, Jurnal of Supply Chain Management, Volume 38, pp.18-28.
- Zehabian, G.R., Alavipanah, S.K., Hamedpanah, R., (2001), Determination of an appropriate area for flood water spreading by remote sensing data and GIS. In: Proceedings of the International Conference on New Technology for a New Century, Seoul, Korea, pp. 1-6.
- dimensions, Journal of Agricultural and Environmental Ethics, Volume 15, pp. 357-380.
- Ghayoumian, J., Ghermezcheshmeh, B., Feiznia, S., Noroozi, A.A., (2005), Integrating GIS and DSS for identification of suitable areas for artificial recharge, case study Meimeh Basin, Isfahan, Iran. Environmental Geology, Volume 47, pp. 493-500. 9.
- Ghayoumian,J., Mohseni Saravi,M., Feiznia,S., Nouri,B., Malekian,A., (2007). Application of GIS techniques to determine areas most suitablefor artificial groundwater recharge in a coastal aquifer in southern Iran, Journal of Asian Earth Sciences, Volume 30, pp. 364-374.
- Hayati D, Karami E, Slee B., (2006), combines qualitative and quantitative methods in the measurement of rural poverty: the case of Iran. Soc Indic Res ;Volume 75, pp. 361-94.
- Krishnamurthy J.; Srinivas, G., (1995), Role of geological and geomorphological factors in ground water exploration: A study using IRS LISS data, International Jurnal of Remote Sensing, Volume 16, pp. 2595-2618.
- Krishnamurthy, J.; Kkumar, N. V.; Jayaraman, V.; Manivel, M., (1996), An approach to demarcate ground water potential zones through remote sensing and geographic information system, International Jurnal of Remote Sensing, Volume 17, pp. 1867-1884.
- Lee, L.W., Kim, S.H., (2000), Using Analytic Network Process and Goal Programming for Interdipendent Information System Project Selection, Computers and Operation Research, Volume 27, pp. 367-382.
- Mohammadnia M., and Kowsar A., (2003), Clay translocation in the artificial